

Assemblée générale FIRST-TF

Besançon – 04 et 05 octobre 2022

Vers une technologie CSO de 3^{eme} génération (CSO 3G)

V. Giordano, G. Le Tetu, C. Fluhr, B. Dubois, J. Paris, R. Hostein

giordano@femto-st.fr

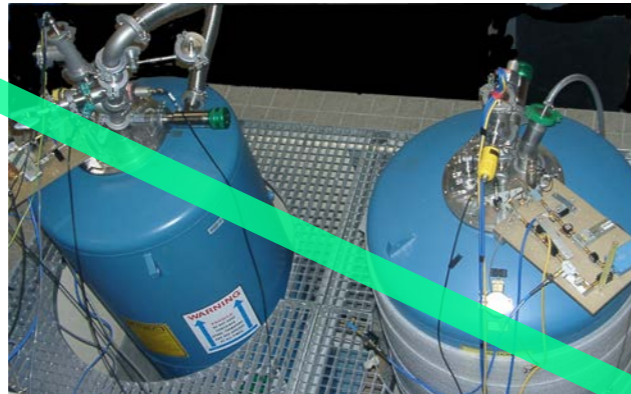


- Rappels sur la technologie ULISS-2G
- Objectifs du projet
- Etat d'avancement

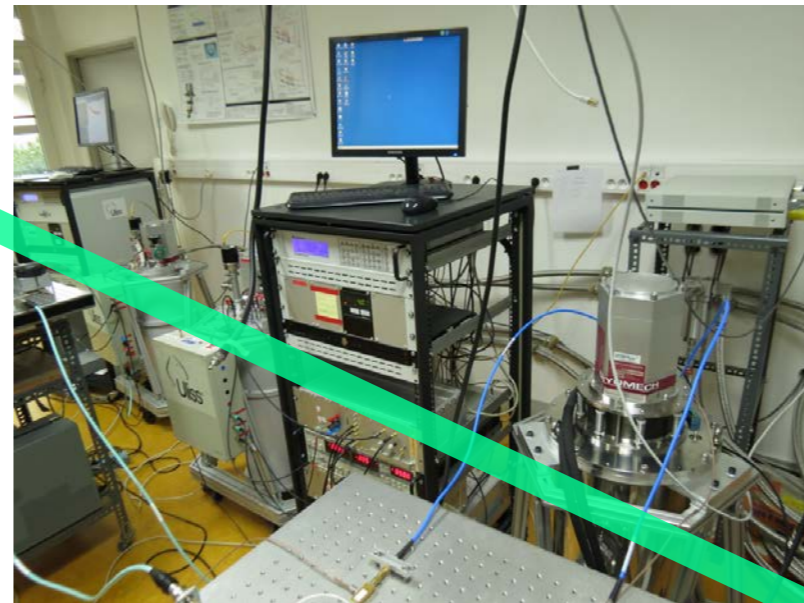
Cryogenic Sapphire Oscillator is only technology to provide a relative frequency stability better than 1×10^{-15} for integration times ranging from 1 s to 10^4 s



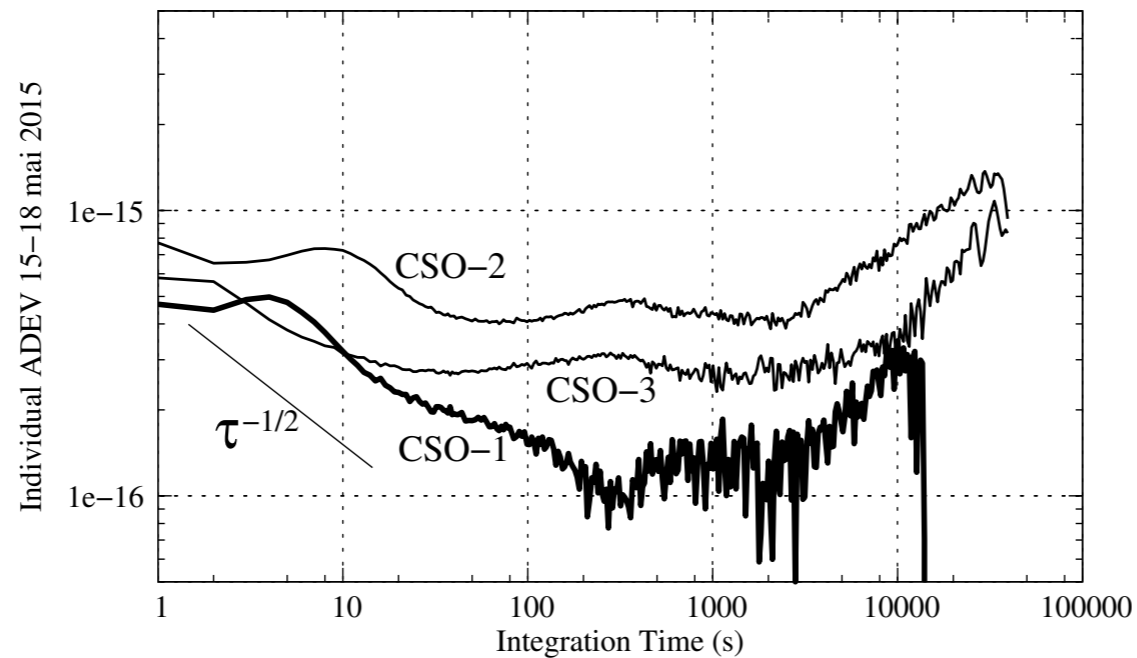
2004
First LHe CSO
at FEMTO-ST

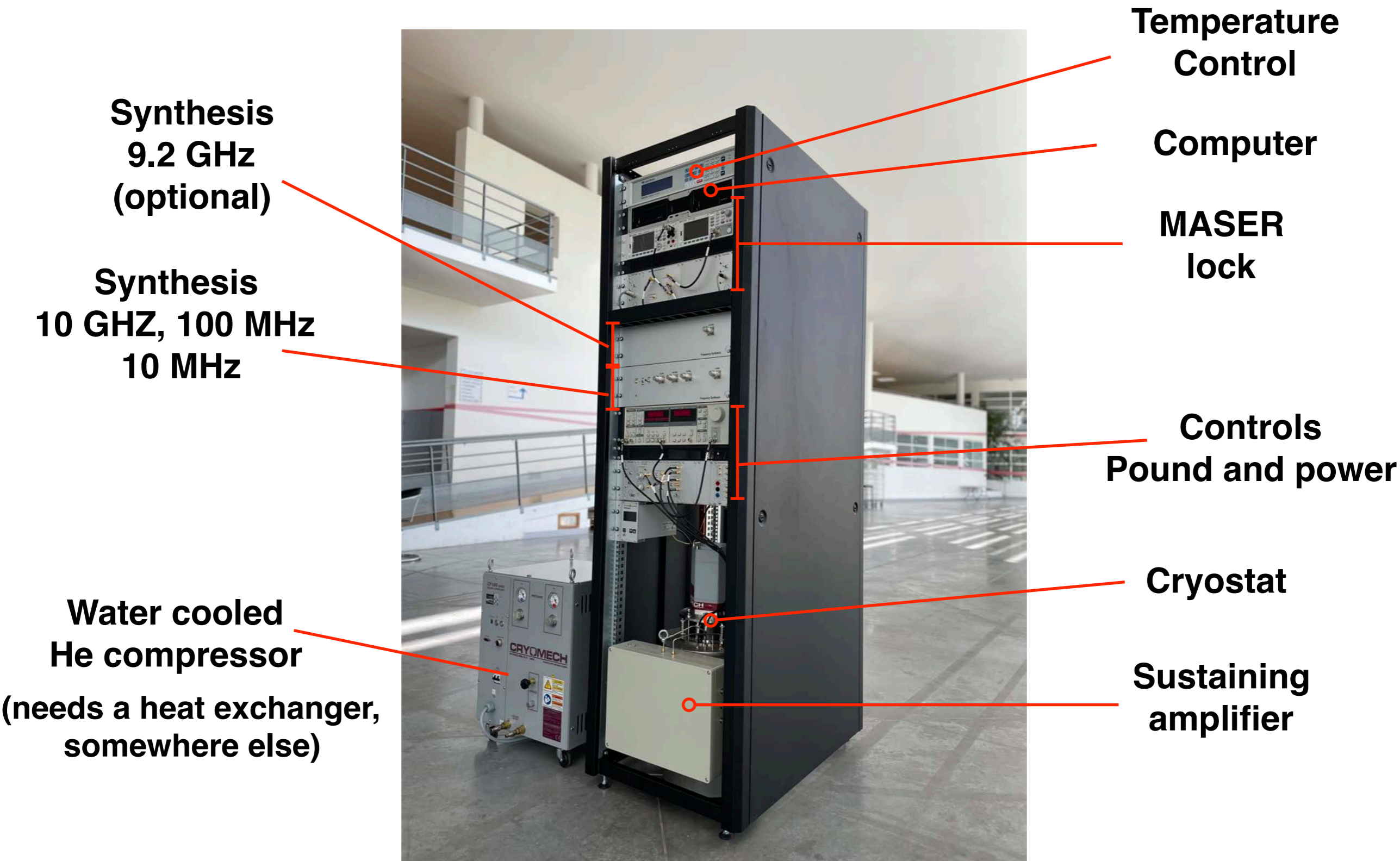


2012-2014
OSCILLATOR-IMP
3 CSOs fully operational



2017
3 kW CSO

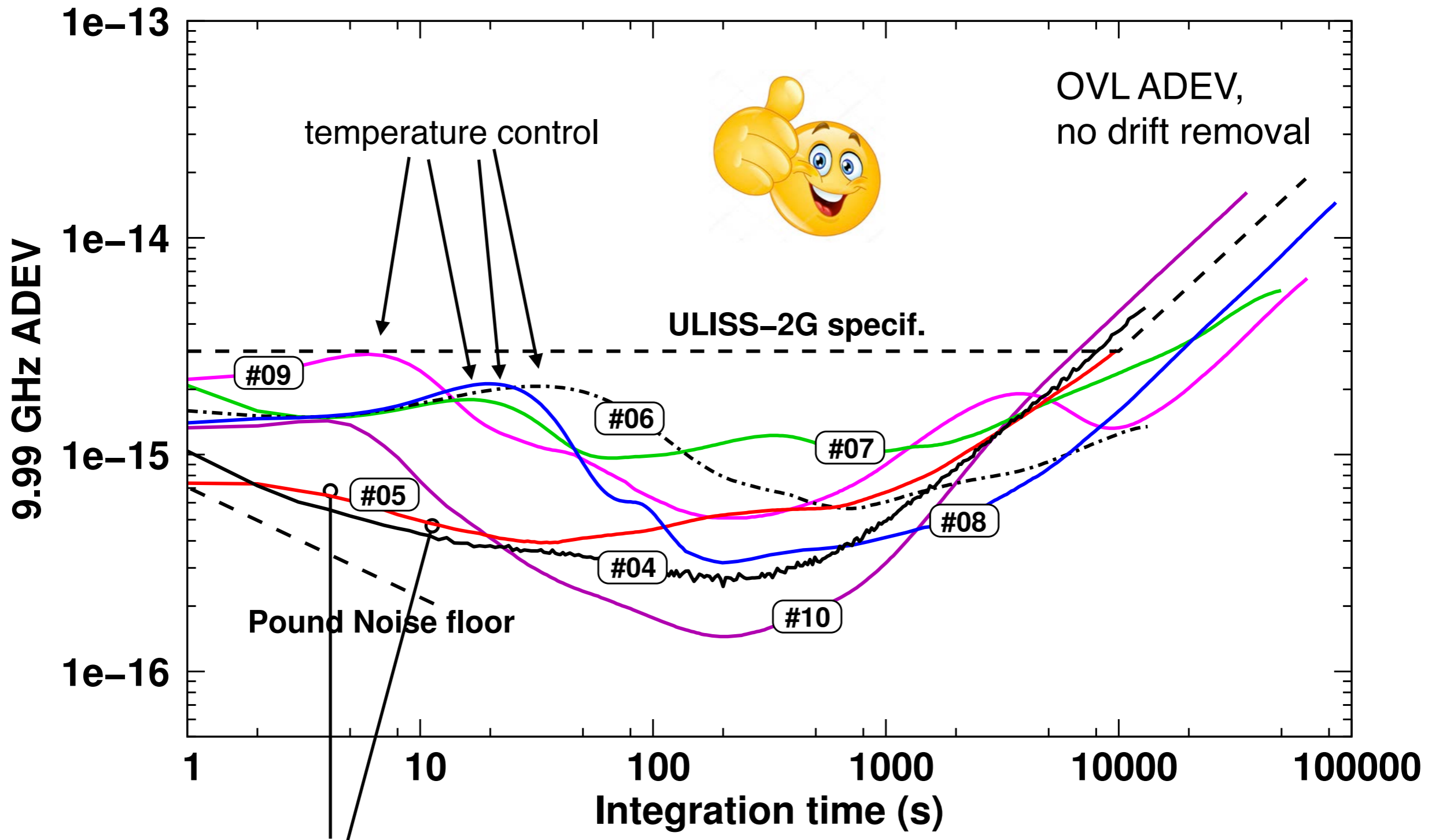




11 CSOs « autonomes » construits et validés à FEMTO-ST depuis 2009

| # | Nickname | Power | first operation | status |
|-----|--------------|-------|-----------------|--|
| 000 | ELISA | 6 kW | June 2009 | Prototype |
| 001 | MARMOTTE | 6 kW | Oct. 2010 | OSCILLATOR IMP Reference |
| 002 | ULISS | 6 kW | Nov. 2011 | OSCILLATOR IMP Reference, Transportable unit |
| 003 | ABSOLUT | 7 kW | May 2014 | OSCILLATOR IMP Reference |
| 004 | ULISS-2G 004 | 3 kW | June 2015 | Prototype, principle demonstration |
| 005 | ULISS-2G 005 | 3 kW | Dec. 2017 | Commercial product (delivered) USNO |
| 006 | ULISS-2G 006 | 3 kW | Nov. 2018 | Commercial product (delivered) USNO |
| 007 | ULISS-2G 007 | 3 kW | June 2019 | Commercial product (delivered) USNO |
| 008 | ULISS-2G 008 | 3 kW | Dec. 2020 | Commercial product (delivered) NTSC |
| 009 | ULISS-2G 009 | 3 kW | April 2021 | Commercial product (delivered) NPL |
| 010 | ULISS-2G 010 | 3 kW | March 2022 | Commercial product (delivered) INRIM |

ULISS 2G – 7 units implemented

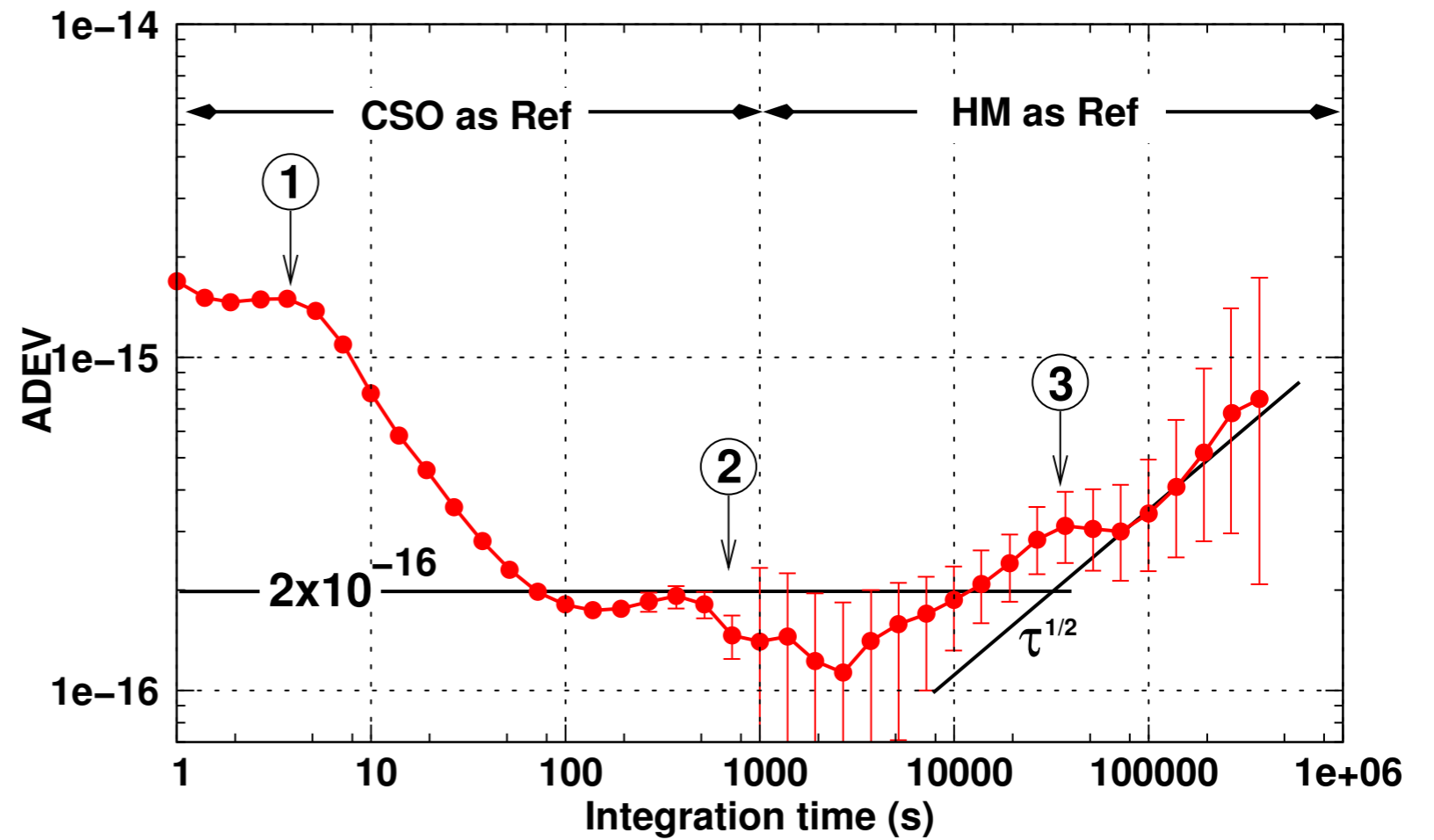
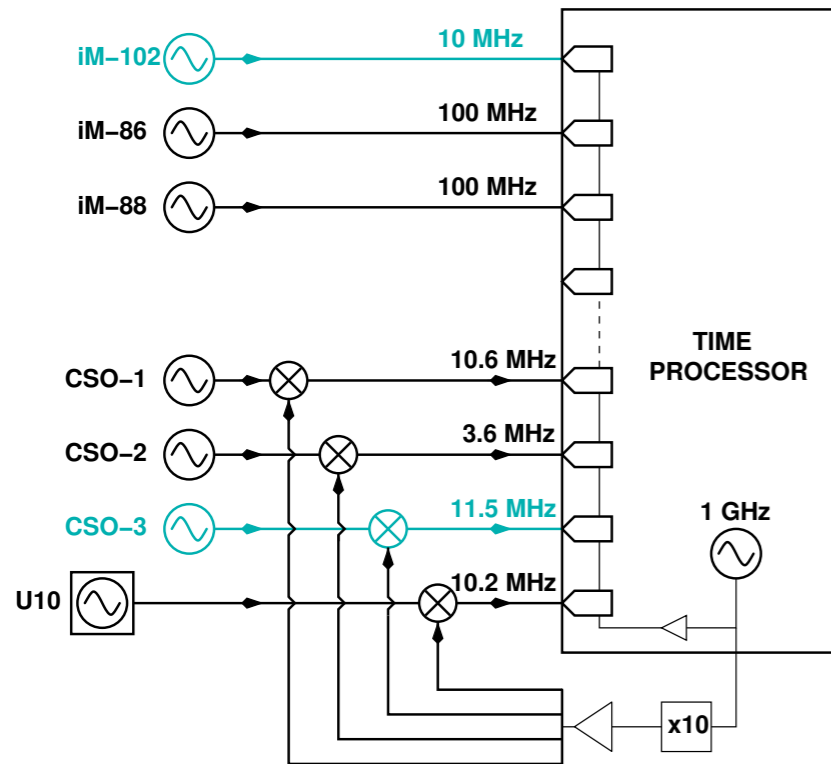


lower turning point (≈ 5 K)
(regular TP is 6-7.5 K)

#4 : first ULISS-2G prototype
#10 : newly implemented

ULISS 2G 010

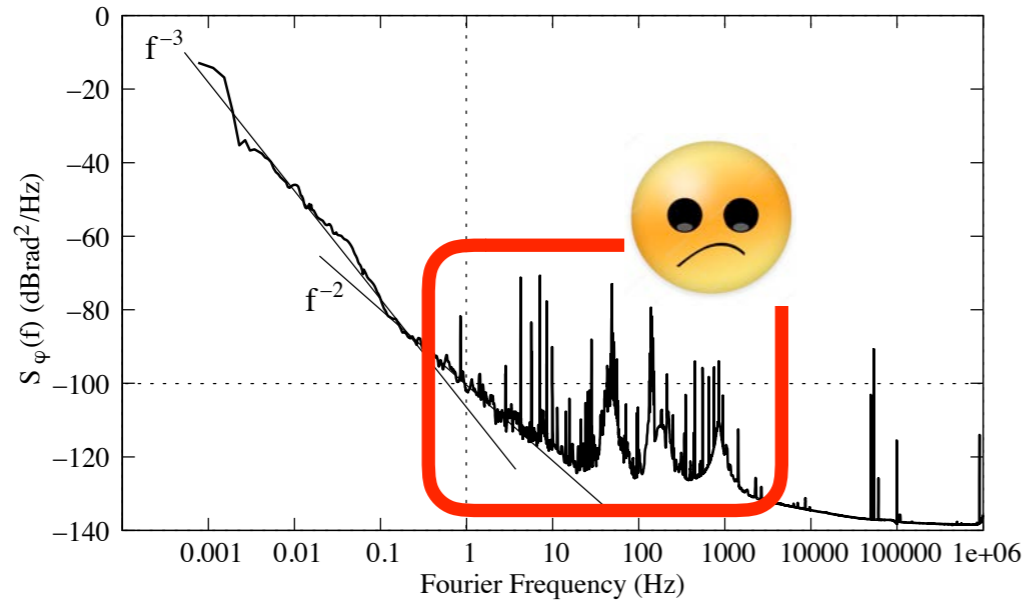
juillet 2022



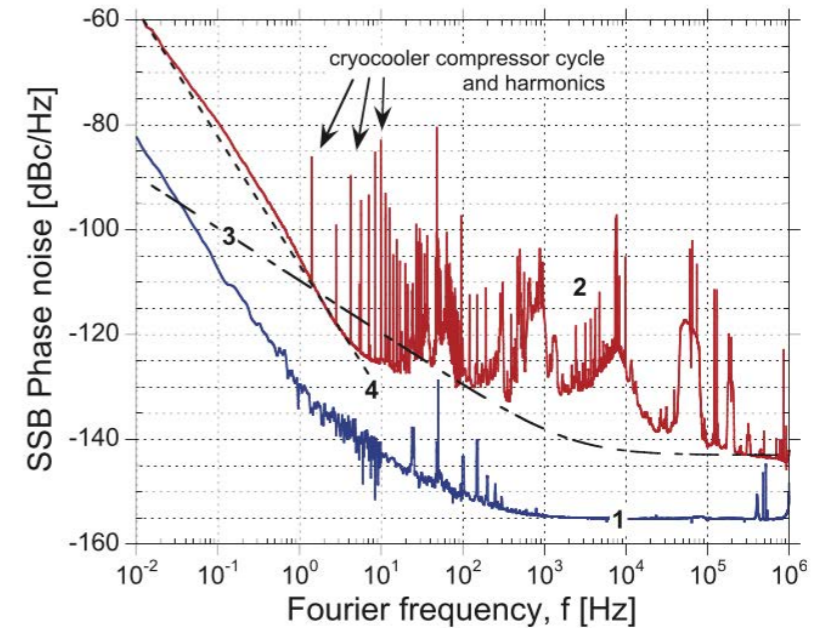
Objectifs du projet

1/ Amélioration du spectre de bruit de phase

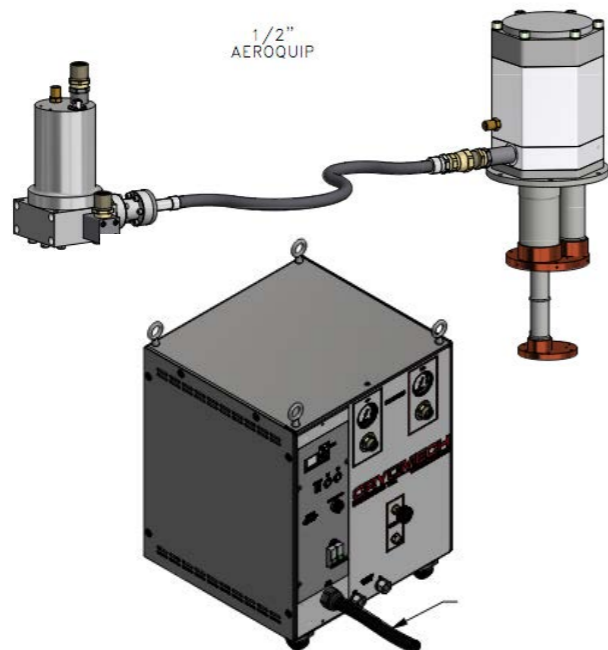
ULISS 2G Phase noise



CryoSapphire Phase noise



2/ Alternatives pour ULISS 2G Cryocooler



Only one supplier :
3kW PT-403 Cryomech
~ 220 mW @ 4 K

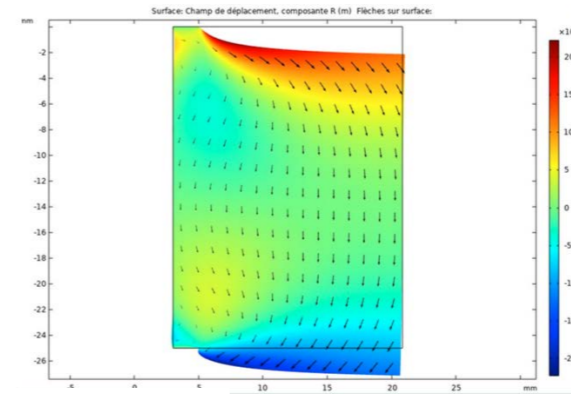
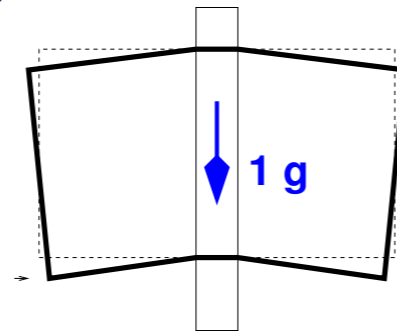


Autres possibilités :

- Cryo GM de Sumitomo (J)
- Cryo PT de Transmit (Ge)

Résonateur : Sensibilité aux vibrations

1/ Déformation mécanique

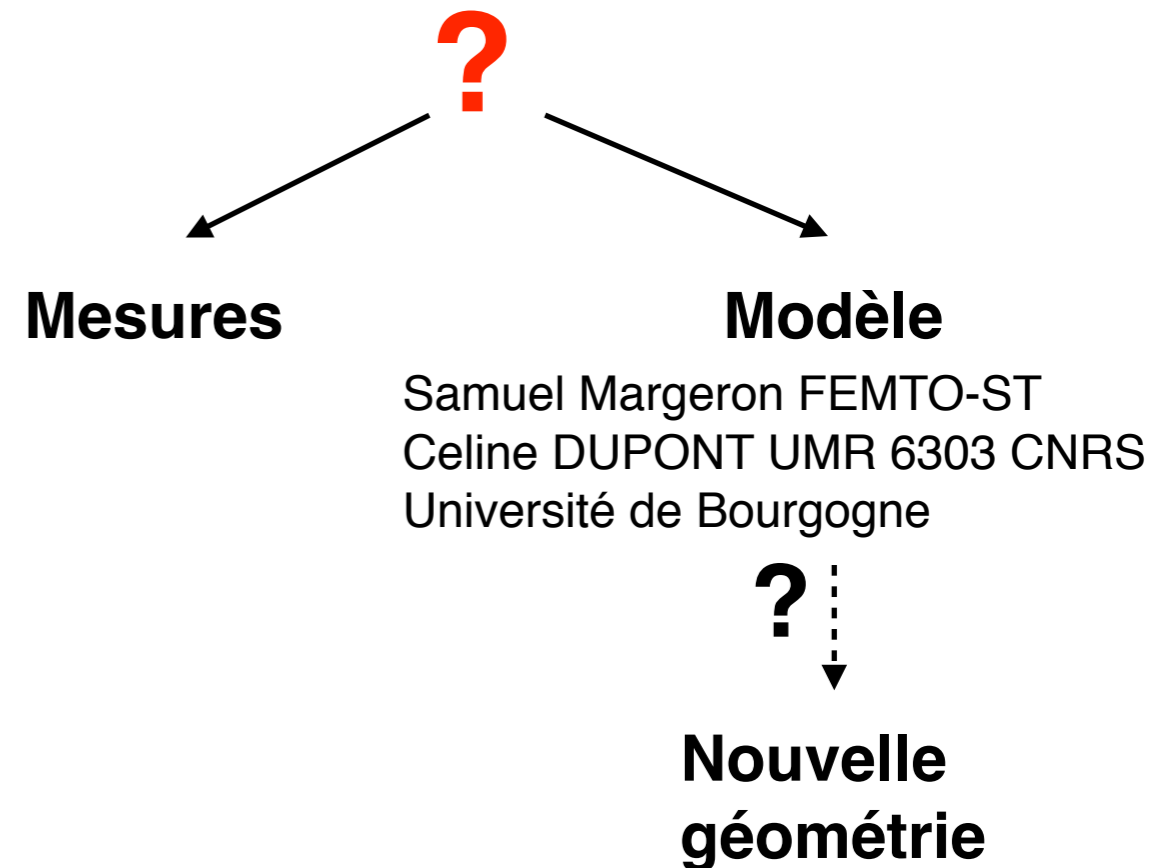


$$\frac{1}{\gamma_z} \frac{\Delta v}{v_0} \Big|_{geo} = 2.5 \times 10^{-10} /g$$

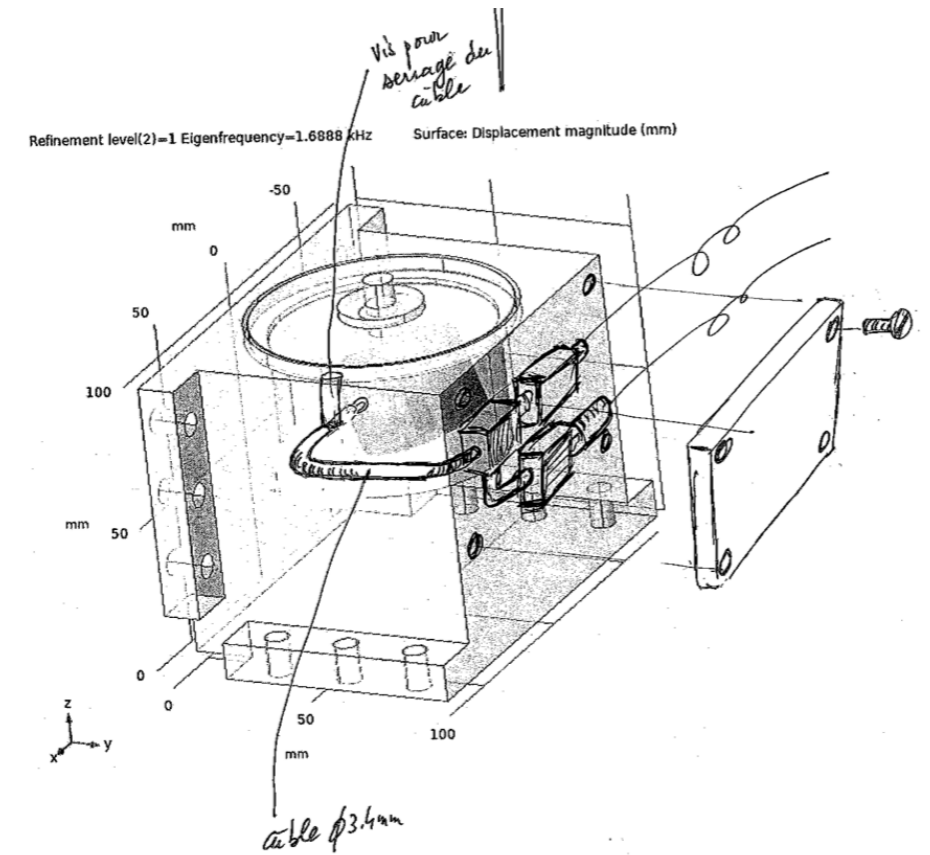
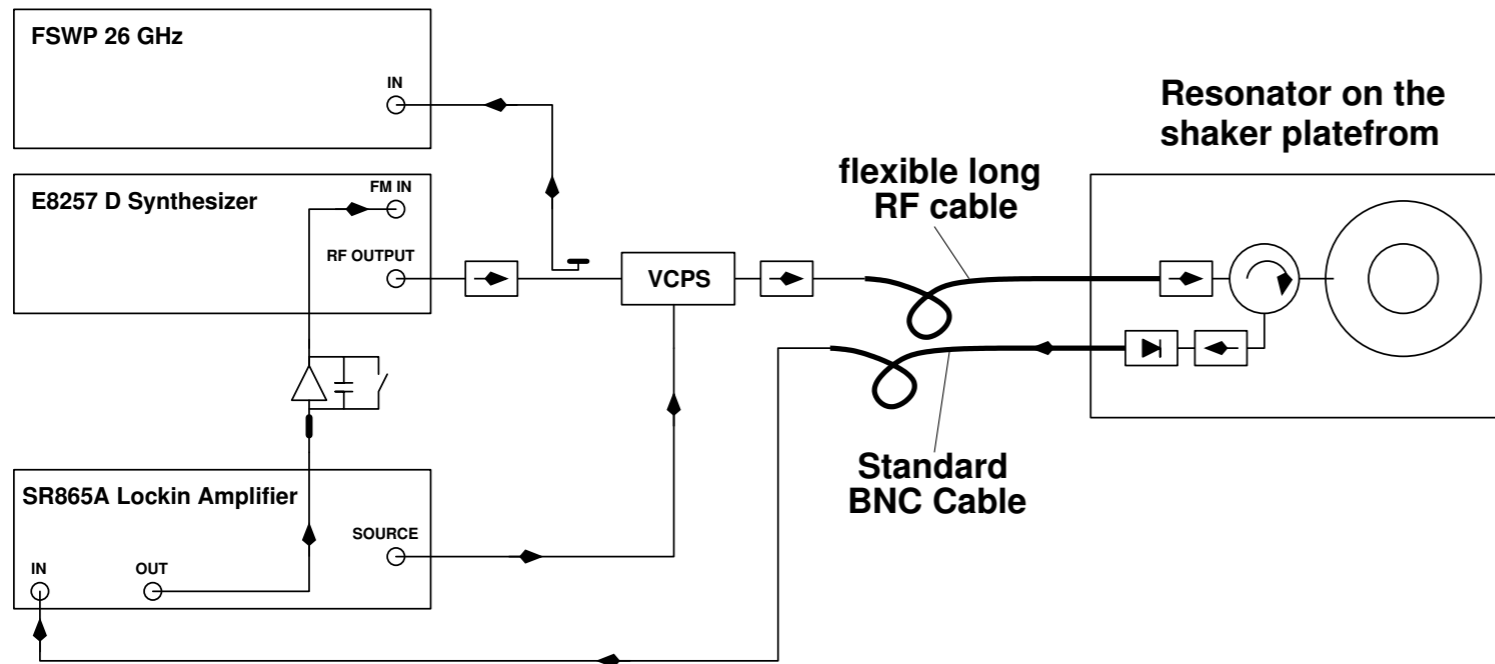
2/ Effet « photoélastique »

Symétrie C3m (saphire)
6 coefficients indépendants
Du tenseur dielectrico-elastic

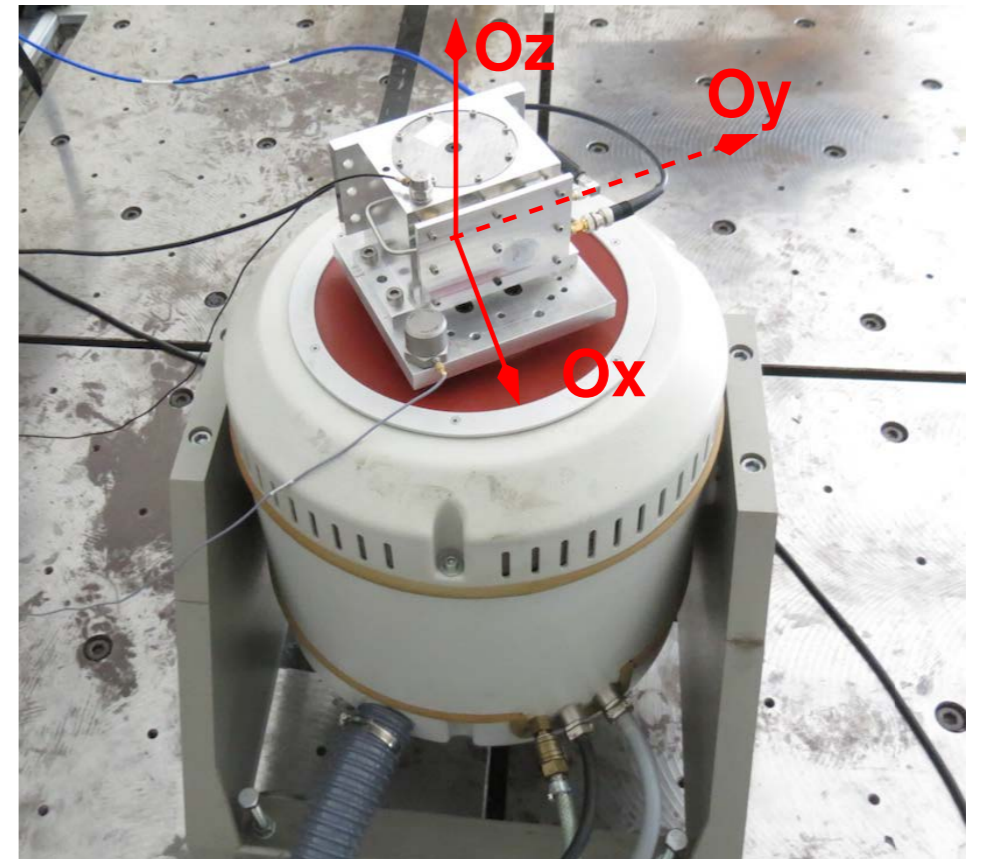
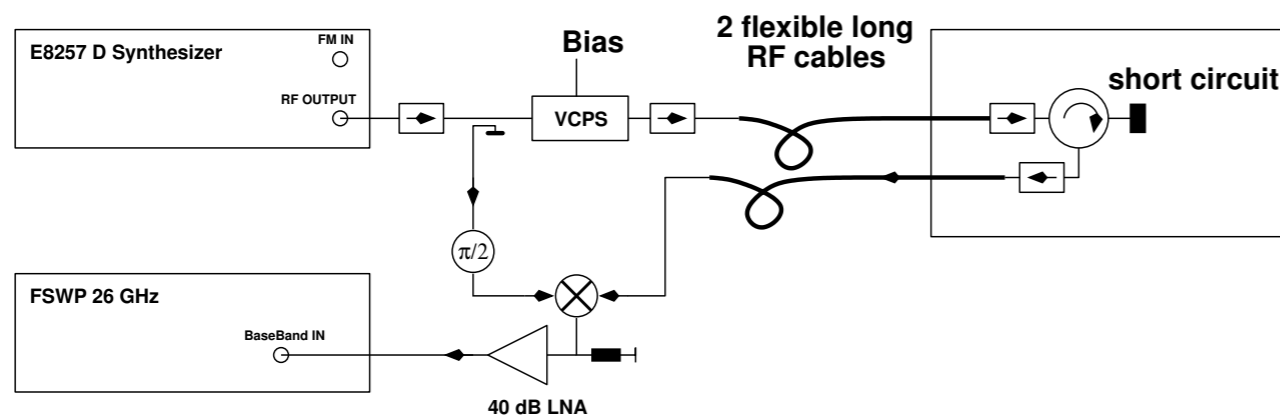
$$\begin{pmatrix} \varepsilon_{\parallel}(0) \\ \varepsilon_{\parallel}(0) \\ \varepsilon_{\perp}(0) \end{pmatrix} + \begin{pmatrix} p_{11} & p_{12} & p_{13} & p_{14} & 0 & 0 \\ p_{12} & p_{22} & p_{13} & -p_{14} & 0 & 0 \\ p_{13} & p_{13} & p_{33} & 0 & 0 & 0 \\ p_{14} & -p_{14} & 0 & p_{44} & 0 & 0 \\ 0 & 0 & 0 & 0 & p_{44} & p_{14} \\ 0 & 0 & 0 & 0 & p_{14} & 1/2(p_{11} - p_{12}) \end{pmatrix} \begin{pmatrix} s_1 \\ s_2 \\ s_3 \\ s_4 \\ s_5 \\ s_6 \end{pmatrix}$$



Mesure de la Sensibilité aux vibrations



Contribution des câbles :



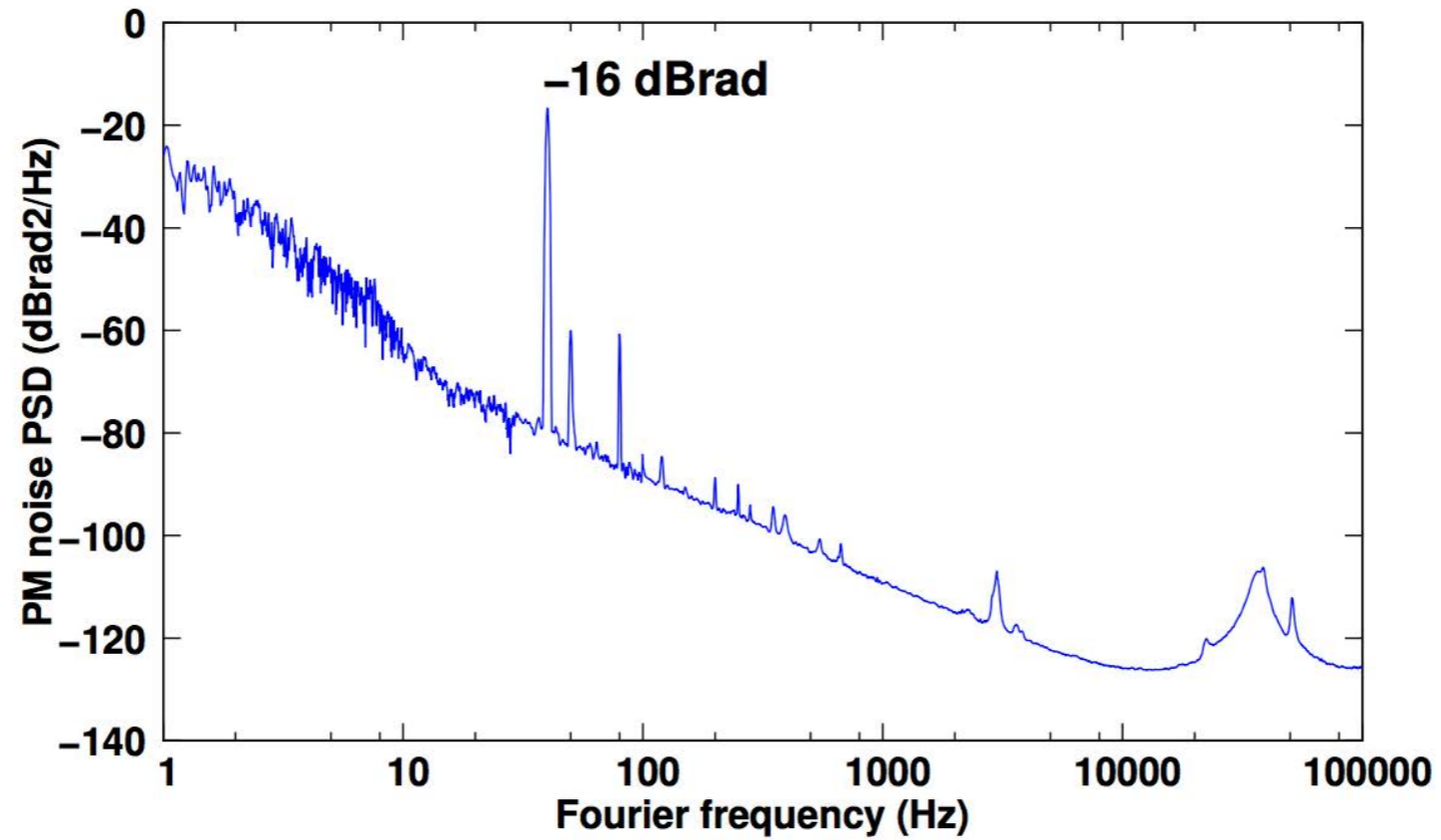


Figure 9: *E8257 PM noise PSD with $\gamma_z = 1g\text{-pic}$ at 40 Hz.*

$$\Gamma_z = \frac{f_m}{v_0} \frac{\sqrt{S_\phi(f_m)}}{\gamma_{z|rms}} = 9.2 \times 10^{-10} \text{ g}^{-1}$$

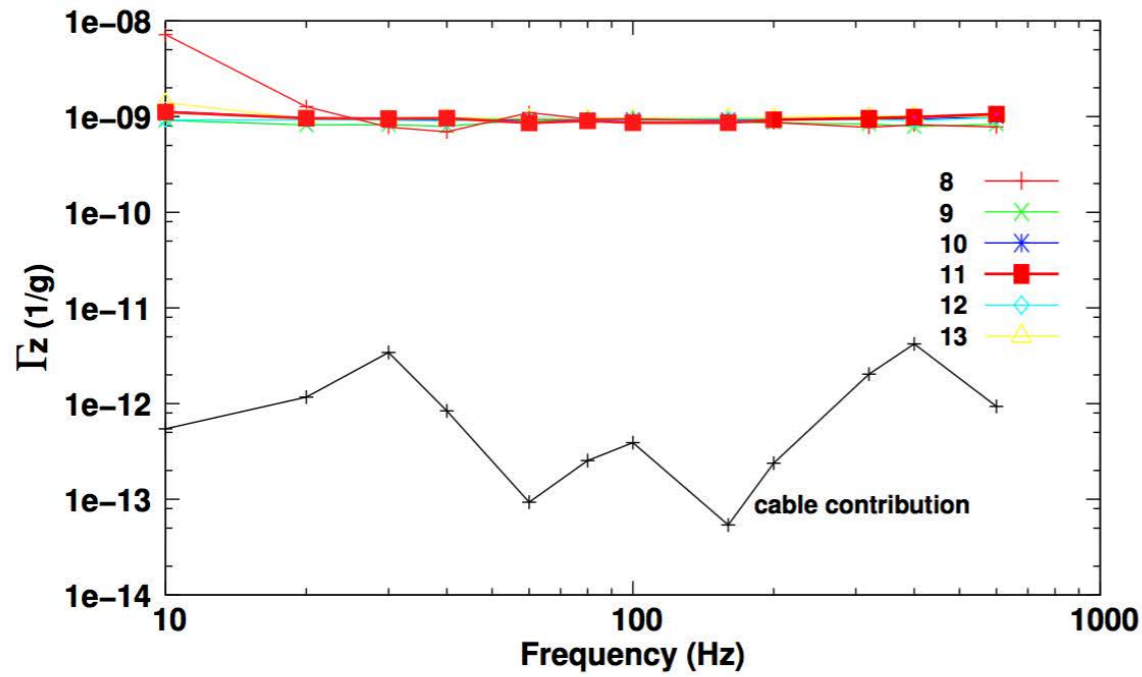


Figure 12: Axial g -sensitivity vs azimuthal number.

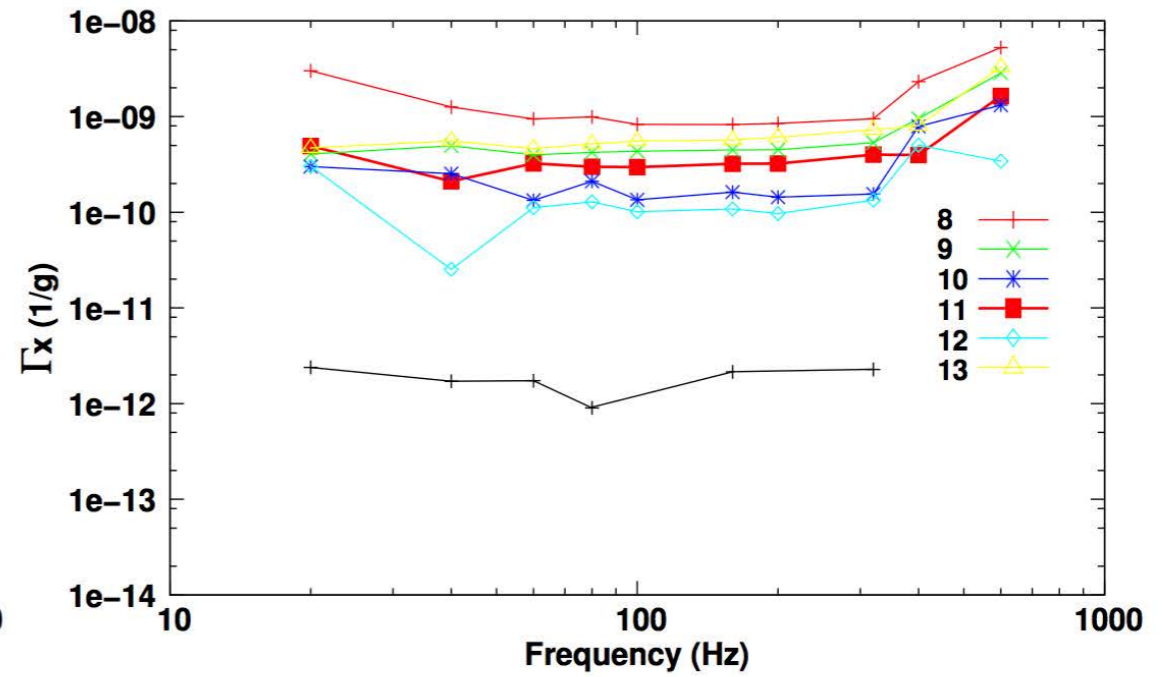


Figure 13: OX g -sensitivity vs azimuthal number.

Table 2: Measured acceleration sensitivities

| m | Γ_Z ($\times 10^{-9}/g$) | Γ_X ($\times 10^{-10}/g$) |
|-----|--------------------------------------|---------------------------------------|
| 8 | 1.0 | 8.0 |
| 9 | 1.0 | 4.5 |
| 10 | 1.0 | 1.5 |
| 11 | 1.0 | 3.1 |
| 12 | 1.0 | 1.0 |
| 13 | 1.0 | 5.0 |

$$\Gamma_z = 2.4 \times 10^{-9}/g$$

A. N. Luiten, PhD thesis, U.W.A., 1995.

$$|\Gamma| \leq 5 \times 10^{-10}/g$$

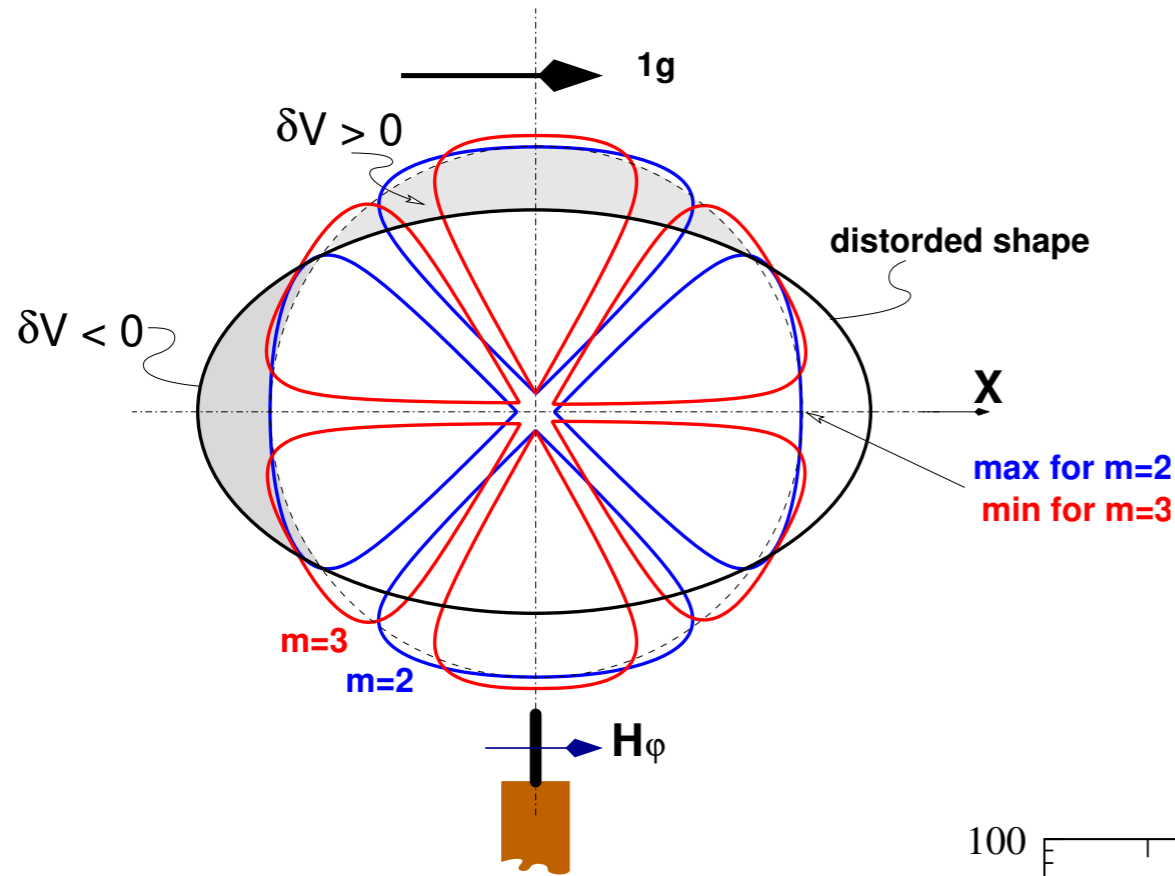
P. Stockwell et. al. in Proc. IFCS 2001.

$$\Gamma_z = 3.2 \times 10^{-10}/g$$

M. Oxborrow et. al. in Proc. EFTF 2008.

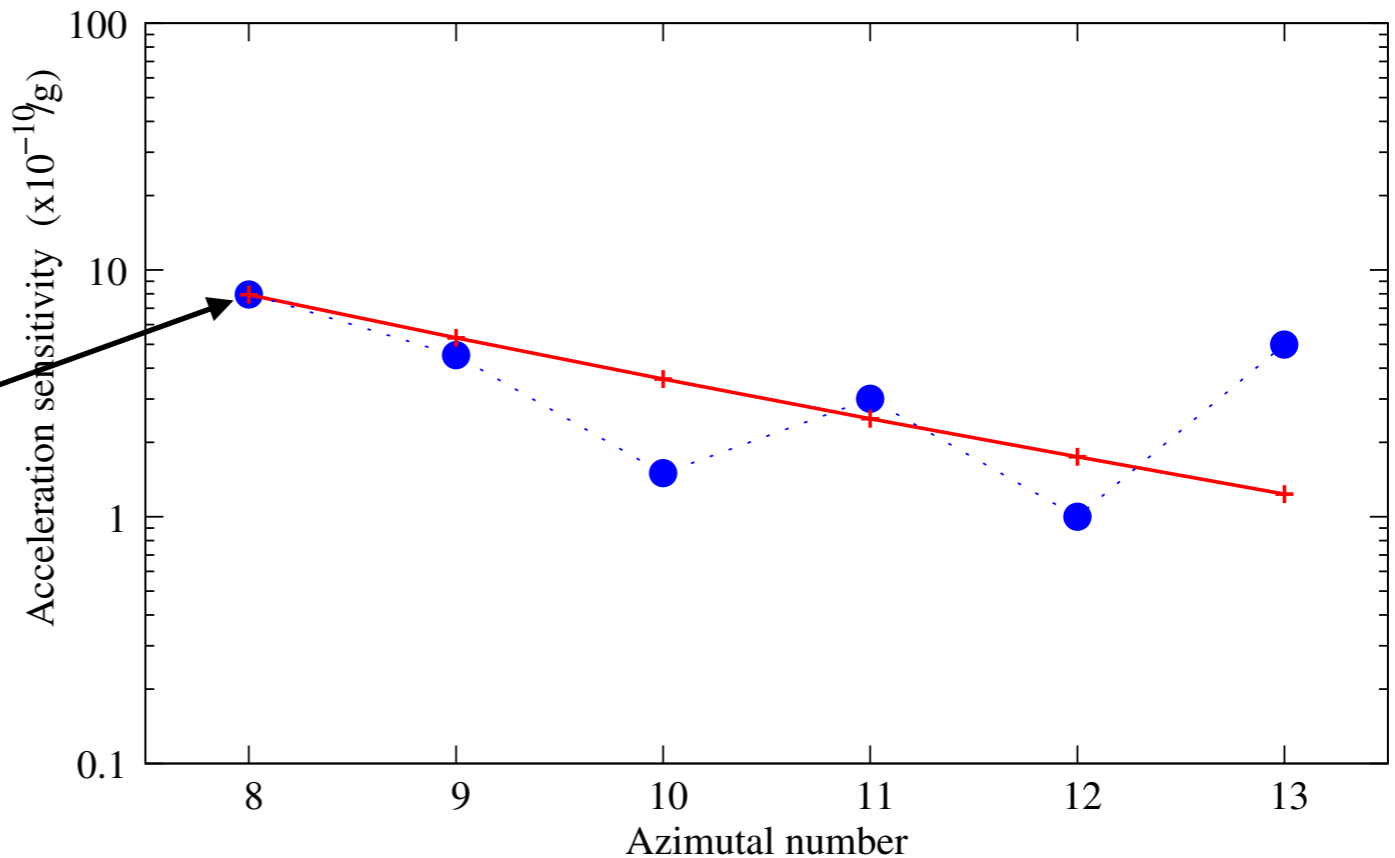
$$|\Gamma| \sim 1 \times 10^{-9}/g \text{ et } \frac{\Delta v}{v} \leq 10^{-15} \rightarrow \text{le } \mu g \text{ est requis !}$$

Sensibilité transverse dépend de m ? Tentative d'explication



champs EM calculés avec Mode Matching

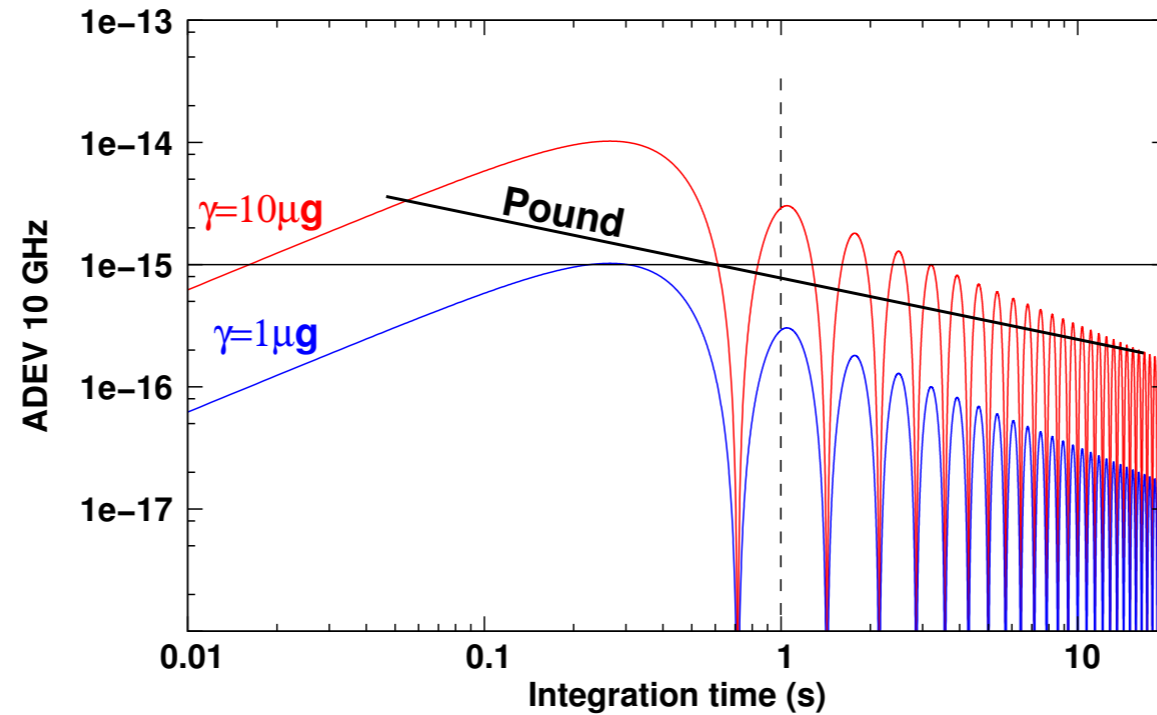
$$\frac{\Delta v}{v_0} = \frac{\int_{\delta V} \mathbf{E} ([\epsilon] - 1) \mathbf{E}^* dv}{\int_V (\mu_0 \mathbf{H}^2 + \epsilon_0 \mathbf{E} [\epsilon] \mathbf{E}^*) dv}$$



Mise à l'échelle pour être compatible avec mesure pour m=8

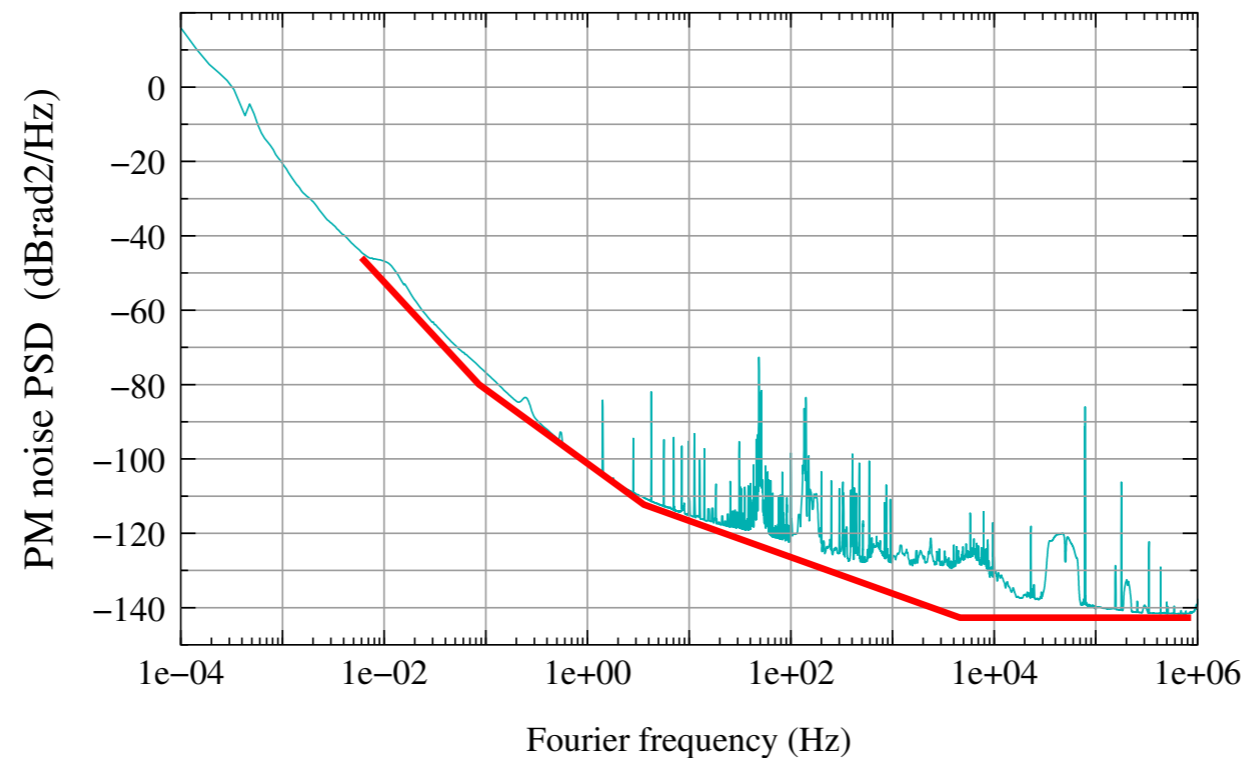
Accélération acceptable ? Quel critère ?

ADEV ?



**1 μg -> 13 nm
@ 1.4 Hz**

Phase Noise



**Gagner
au moins 20 dB !!**

Atténuation des vibrations générées par un cryogénérateur :

Problème pour de nombreuses applications scientifiques

- Microscopie
- Interferométrie optique (GW detection ...)
- Ions piégés (horloge optique, quantum computing)
- Spatial
- ...

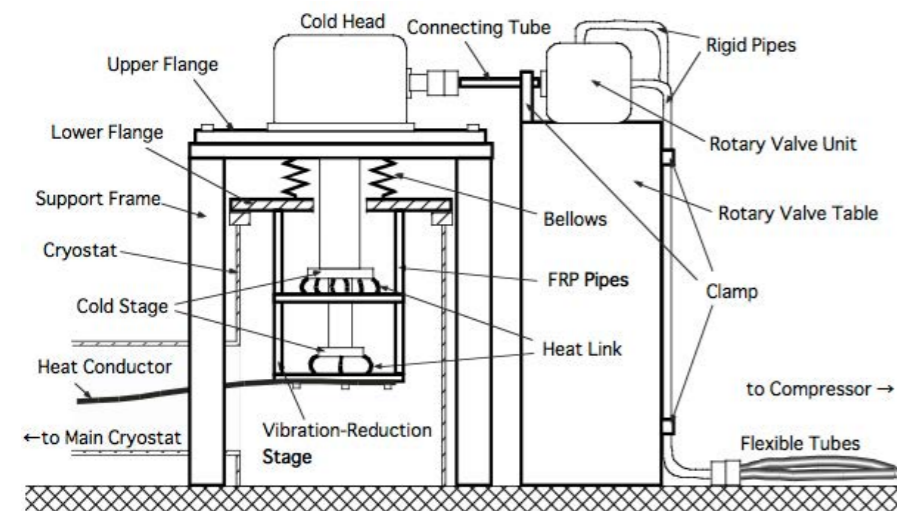
-> biblio très fournie décrivant ≠ réalisations très spécifiques: 3 « concepts »

T. Tomaru

Cryocoolers

13, p. 645-702 (2004)

10.1007/0-387-27533-9_86



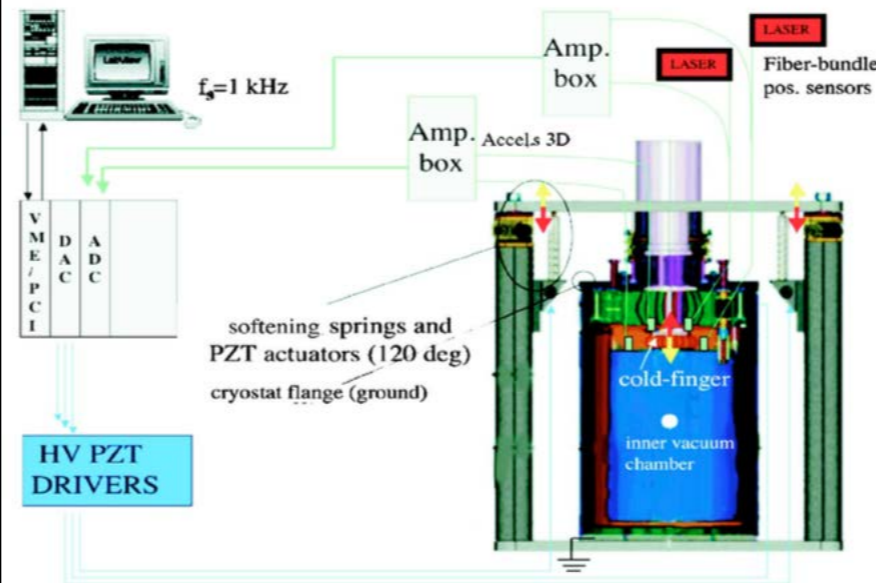
Solutions passives
lien thermiques flexibles
Structure support rigide

S. Caparrelli

Review of Scientific Instruments

77, 095102 (2006)

<https://doi.org/10.1063/1.2349609>



Correction active avec détecteurs
et actuateurs piezos

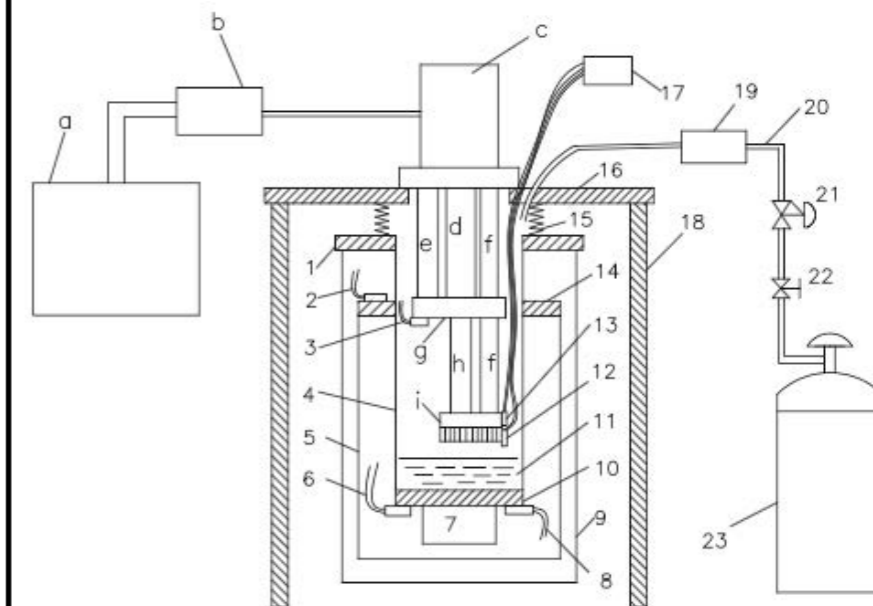
Complexe : mise en oeuvre et ajustement
Efficacité suivant 3 axes pas démontrée

C. Wang

Cryogenics

50, 5, p. 336-341 (2010)

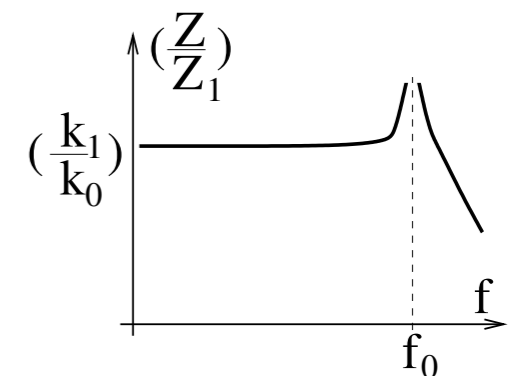
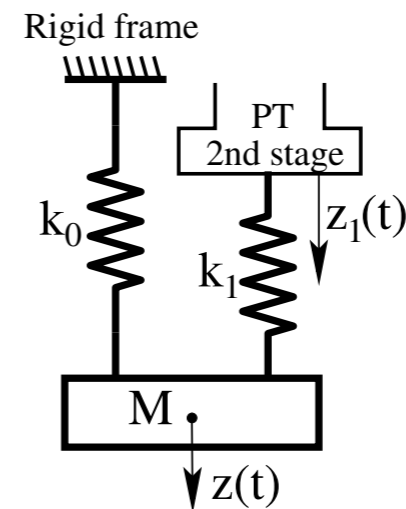
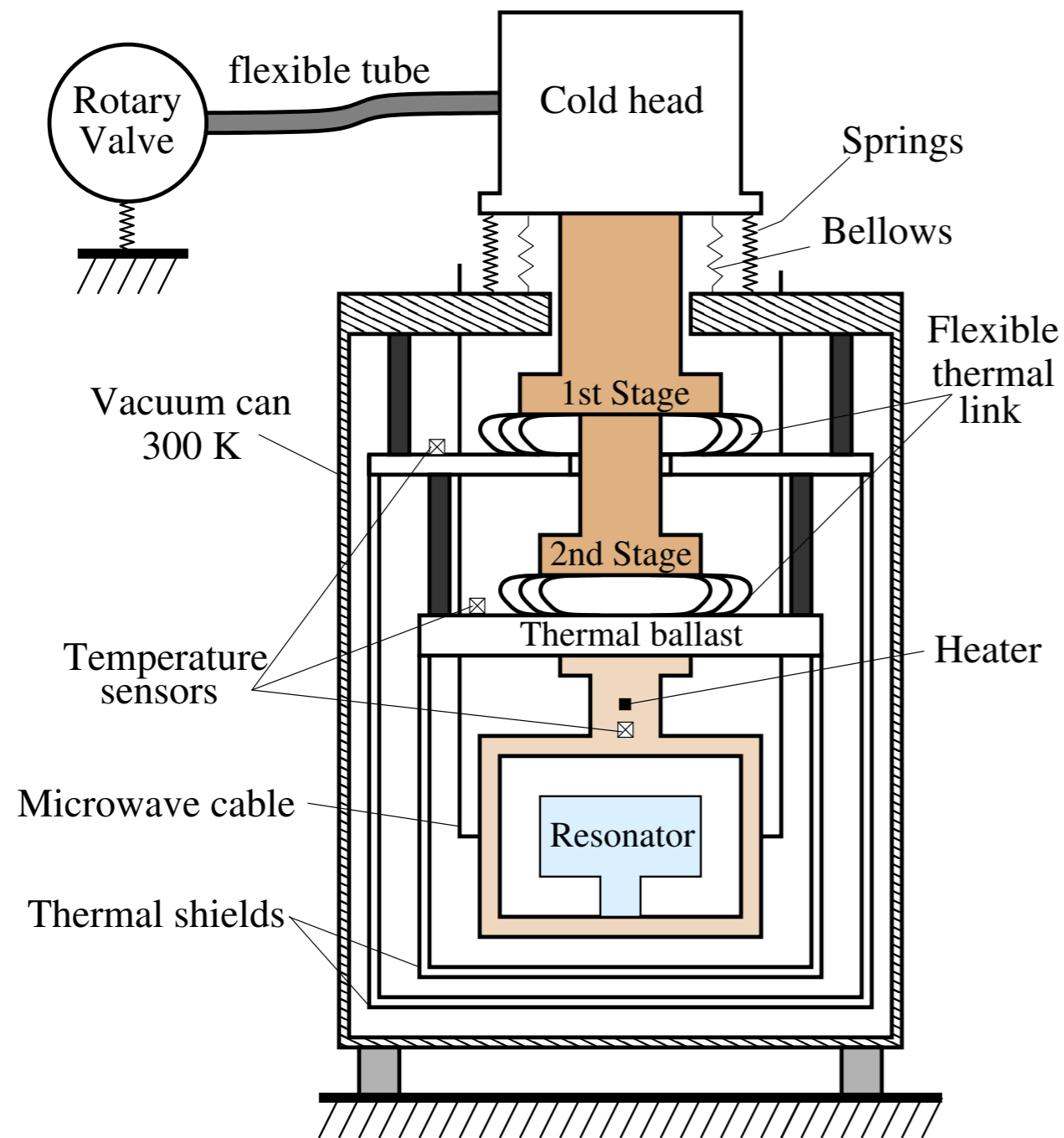
10.1016/j.cryogenics.2010.01.003



Interface : équilibre liquide/vapeur He
Pas de contact mécanique
entre expérience et doigt froid

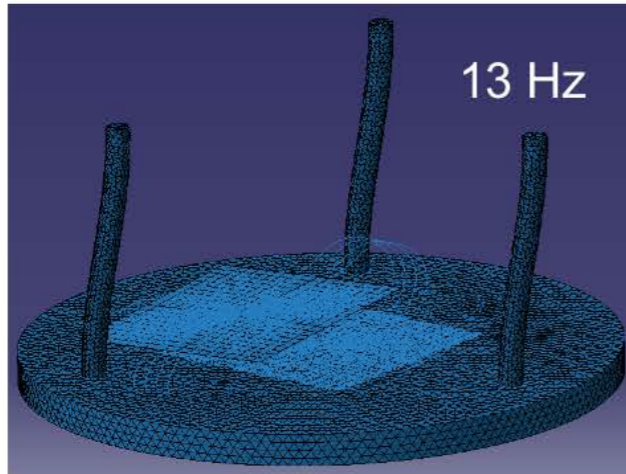
Complexe : mise en oeuvre et ajustement
Pas compatible avec $P_{elec} < 4$ kW

ULISS-2G : Configuration retenue

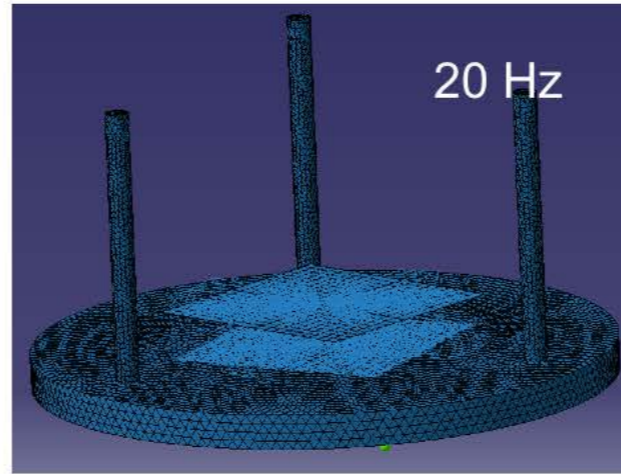


Optimisation: compromis entre T mini et isolation des vibrations

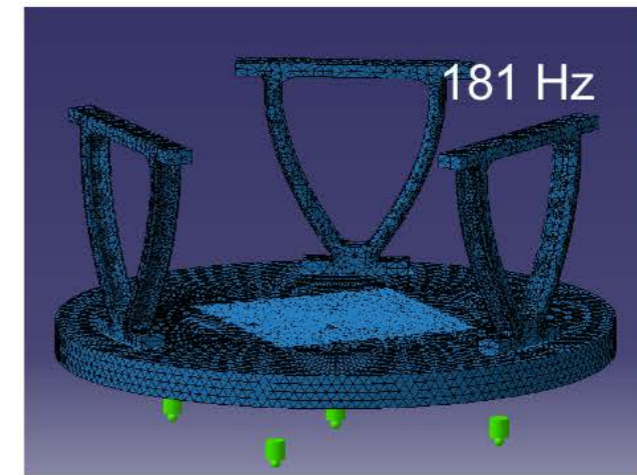
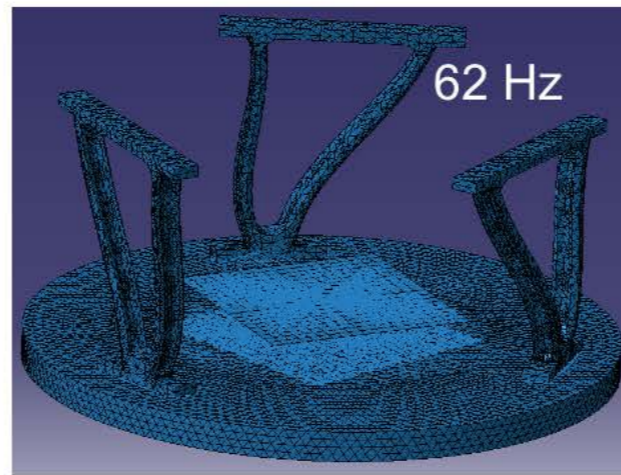
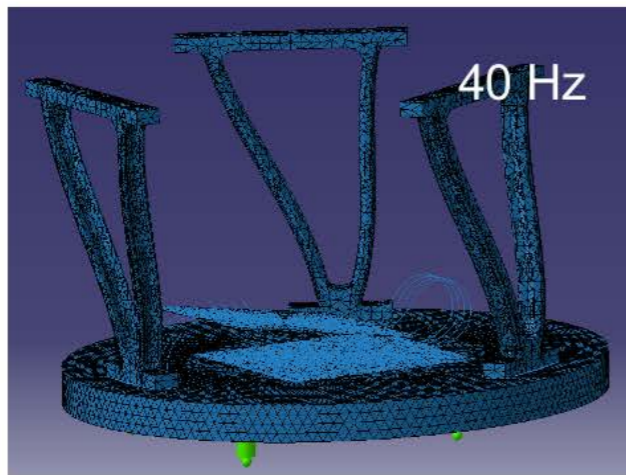
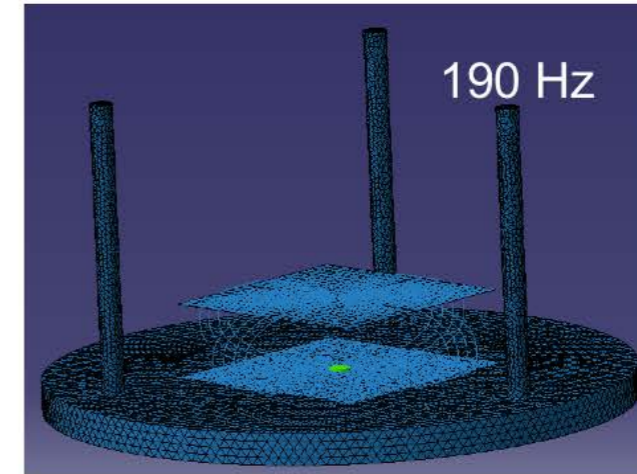
“pendulum” mode



torsion mode



axial mode

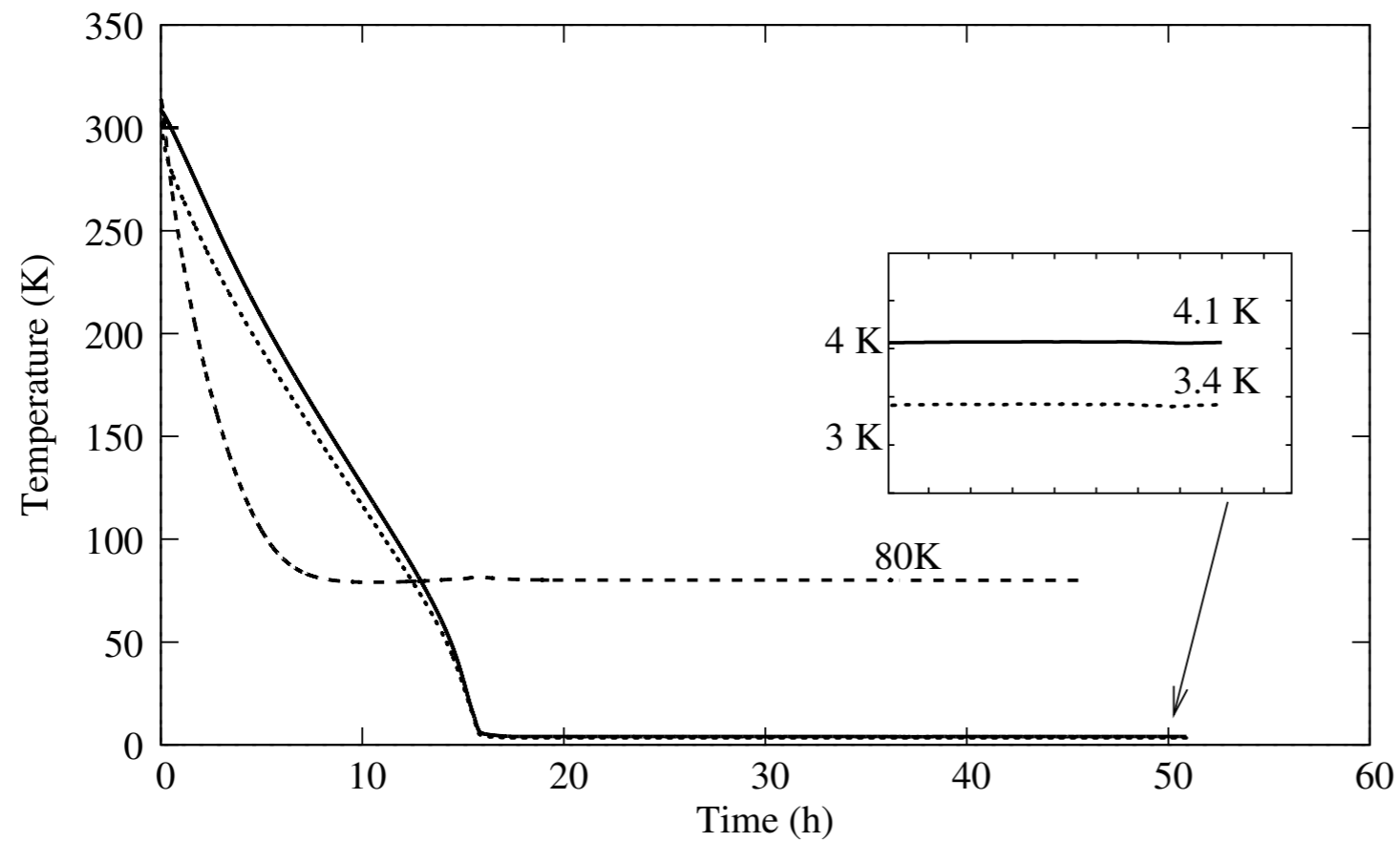
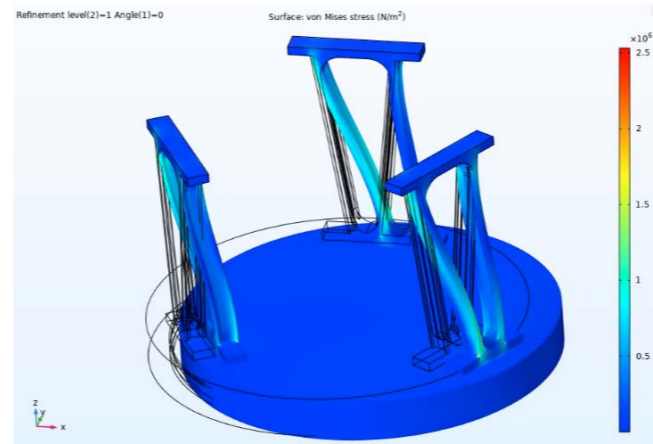
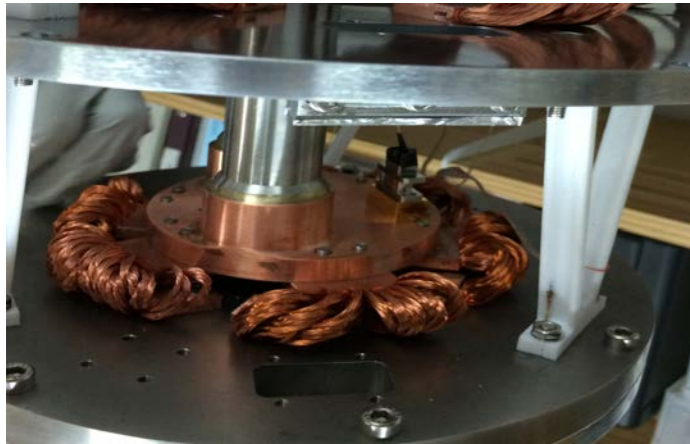


Mechanical damping in the axial and transverse directions.

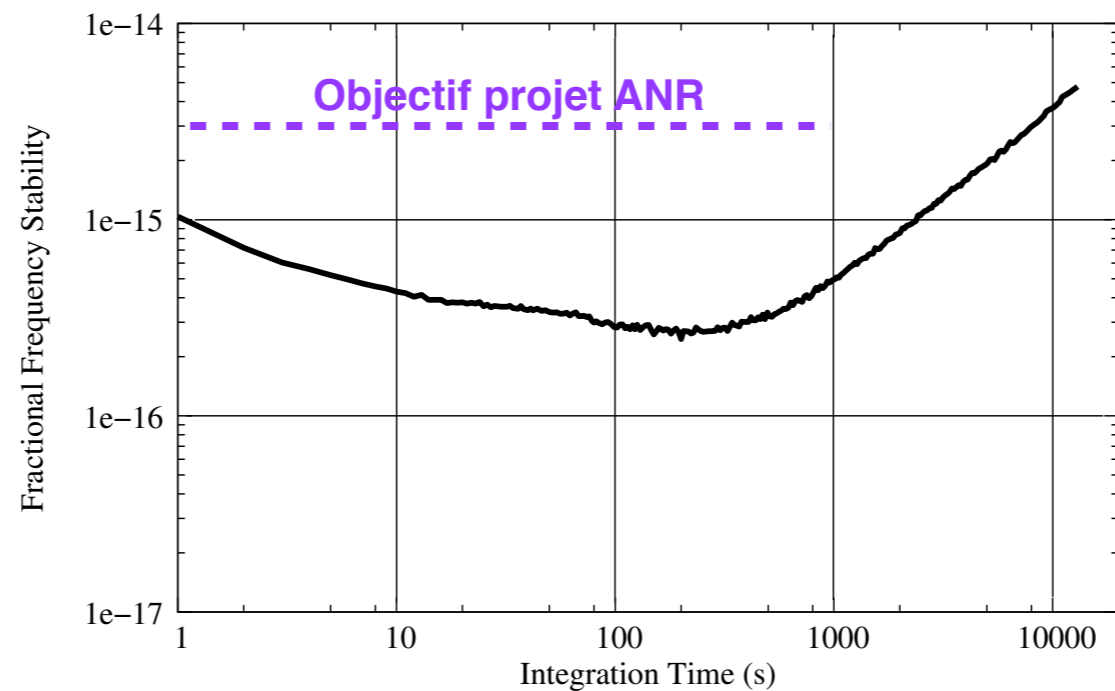
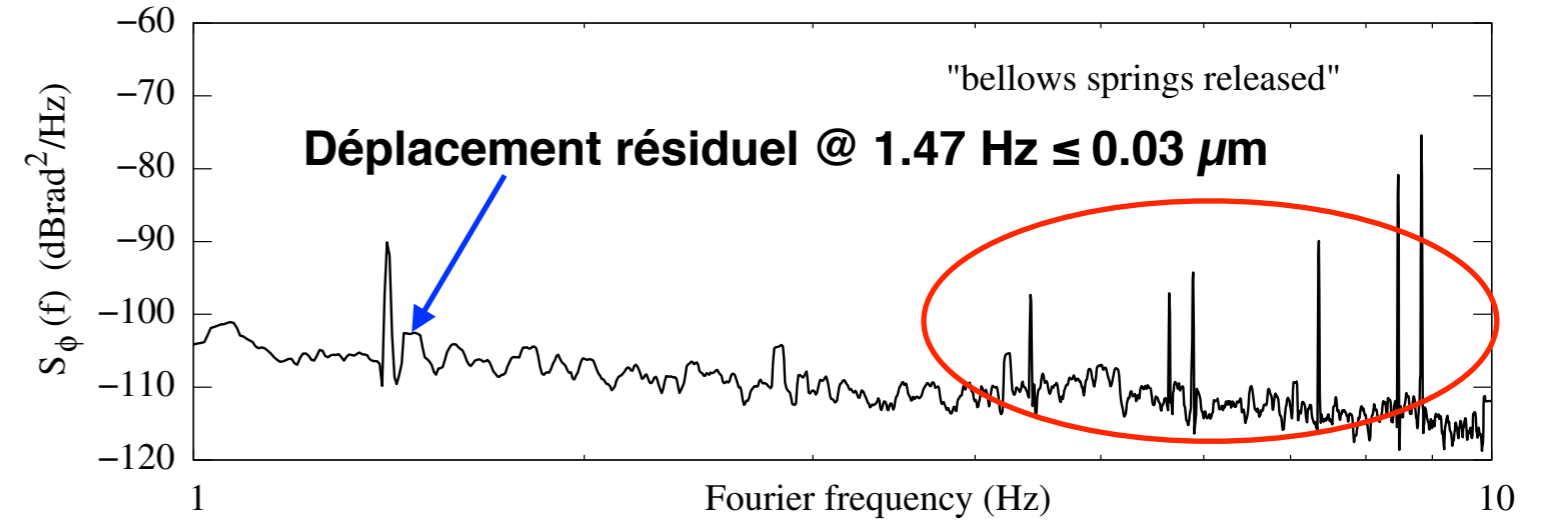
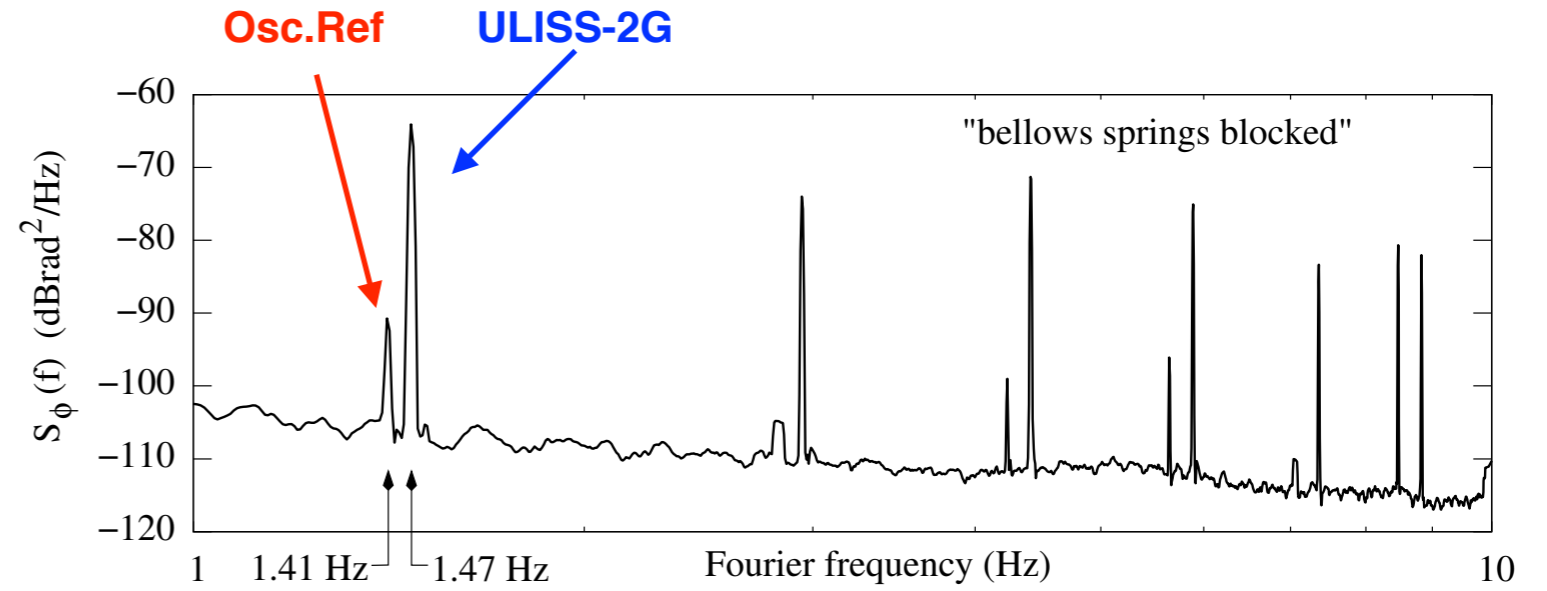
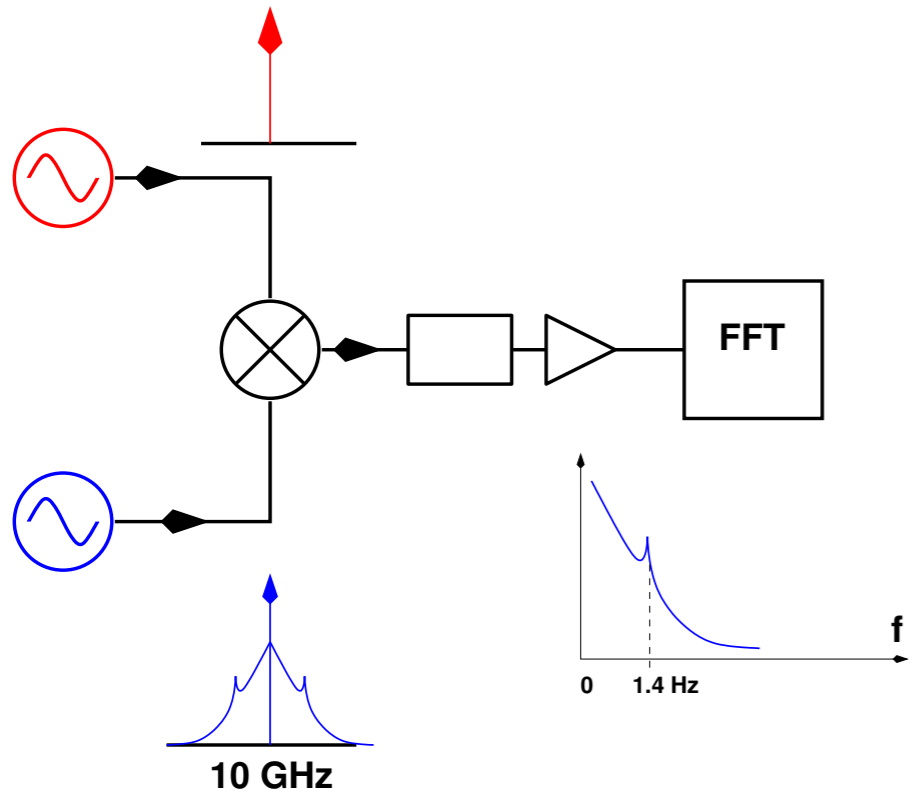
| Suspension type | Axial damping (dB) | Transverse damping (dB) |
|------------------|--------------------|-------------------------|
| Cylindrical rods | 85 | 43 |
| V-shaped | 85 | 62 |

Modélisation mécanique des tresses très simplifiée : ensemble de poutres en flexion

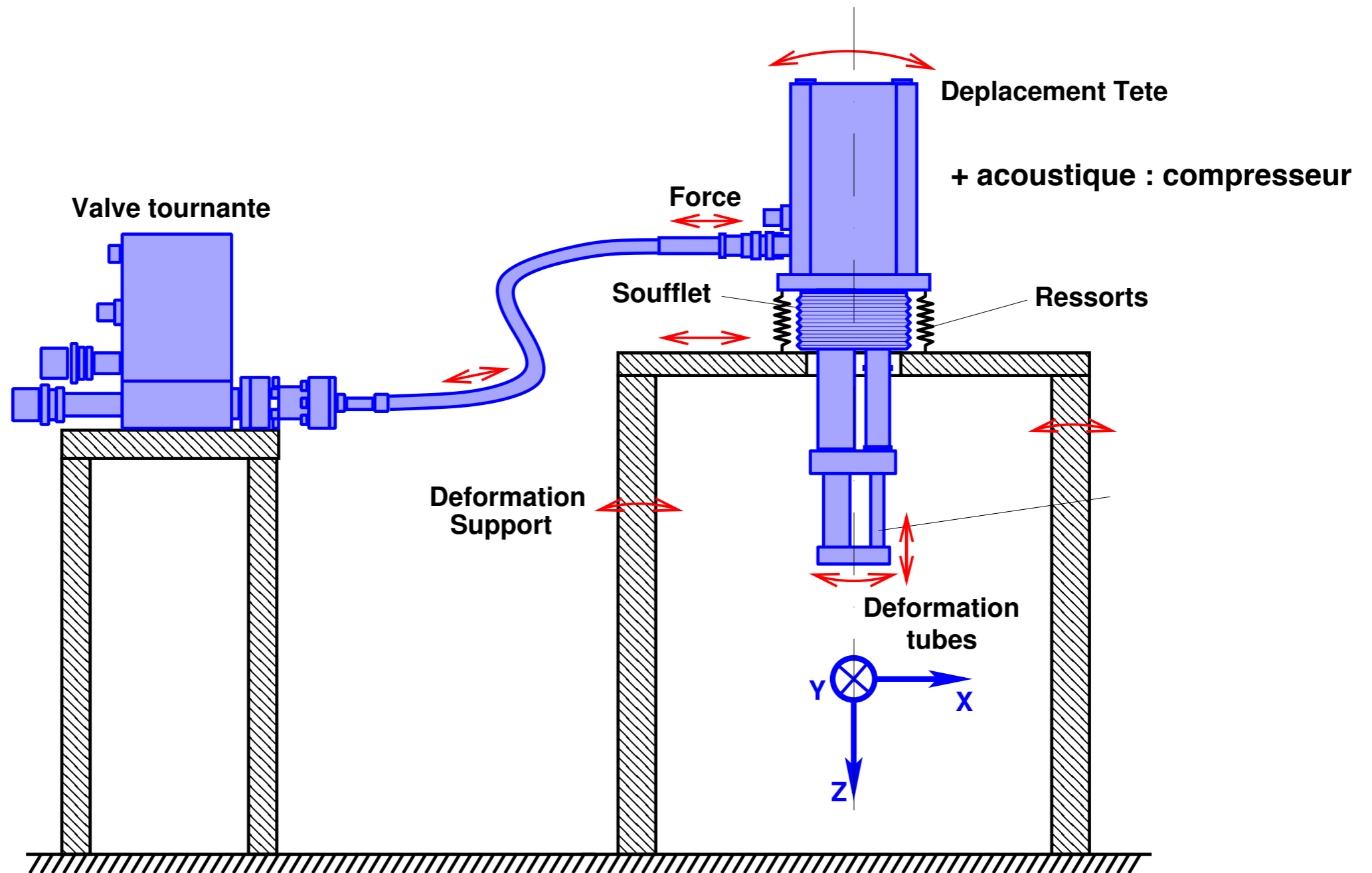
Réalisation : My Cryo Firm



Vibrations, mesure du bruit de phase



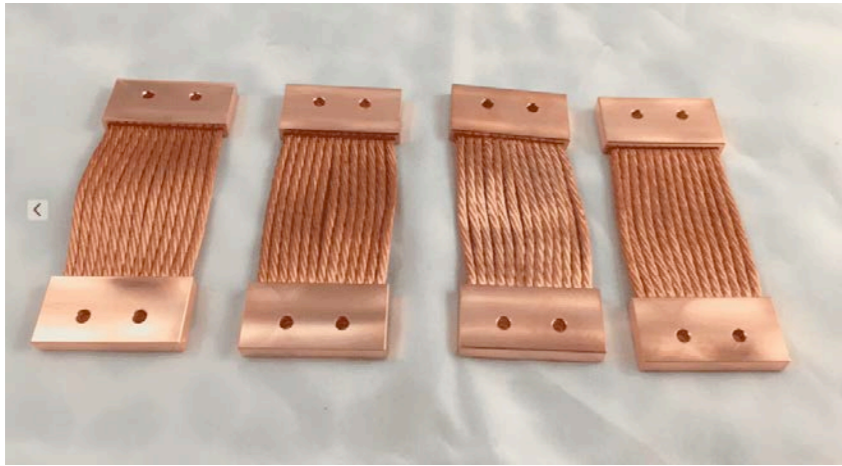
Vibrations



Typiquement :
 $O_z : 30 \mu\text{m}$, $O_y : 10 \mu\text{m}$, $O_x : 20 \mu\text{m}$
@ 1.4 Hz

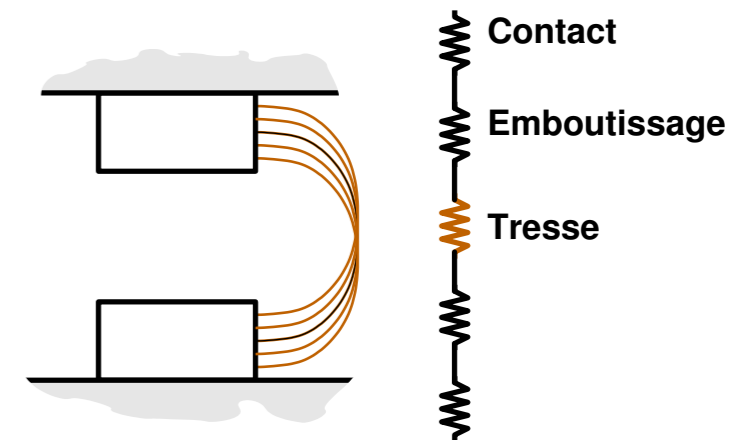
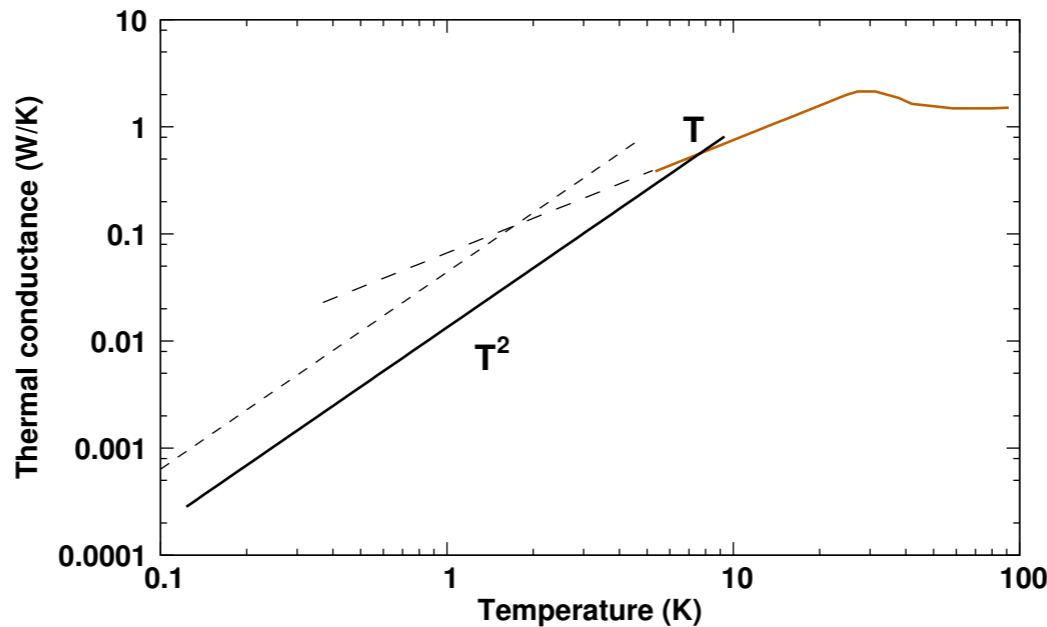
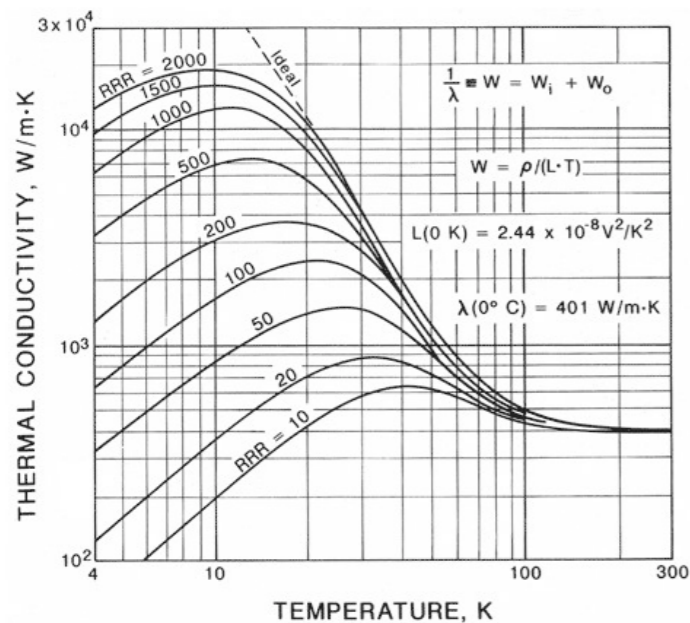
Liens flexibles : tresses de cuivre

Fils + Embase Cu OFHC
 Emboutissage à froid + Recuit



Technology Applications, Inc. (TAI)
 Boulder, Colorado
 pour équiper ULISS-2G : 6000 € (2013)

My Cryo Firm
 Fontenay-sous-Bois
 ULISS-2G : 1000 € (2022)



En pratique : $R_{th} = 1-2 \text{ k/W @ } 70 \text{ K}$
 $R_{th} = 5-7 \text{ k/W @ } 6 \text{ K}$

Tresses Cu : $k \neq 0$.

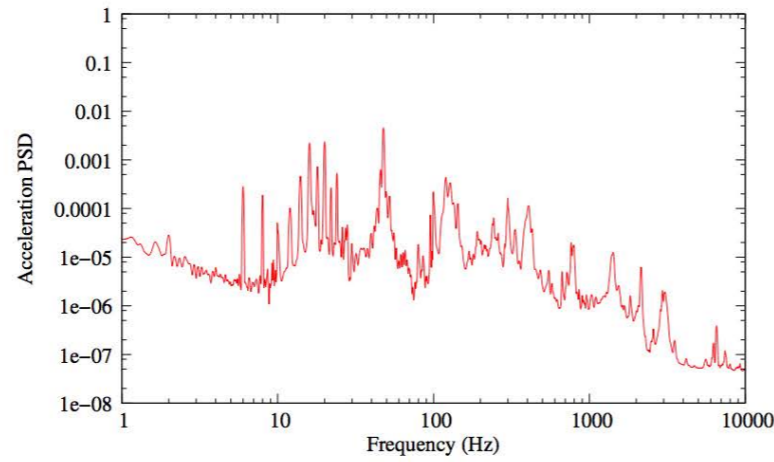


Figure 9: Mylar rods and one braid connected.

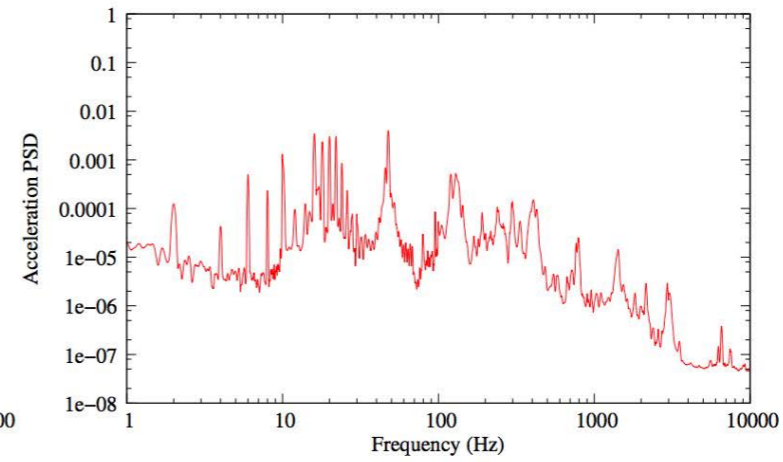


Figure 10: Mylar rods and three braids connected.

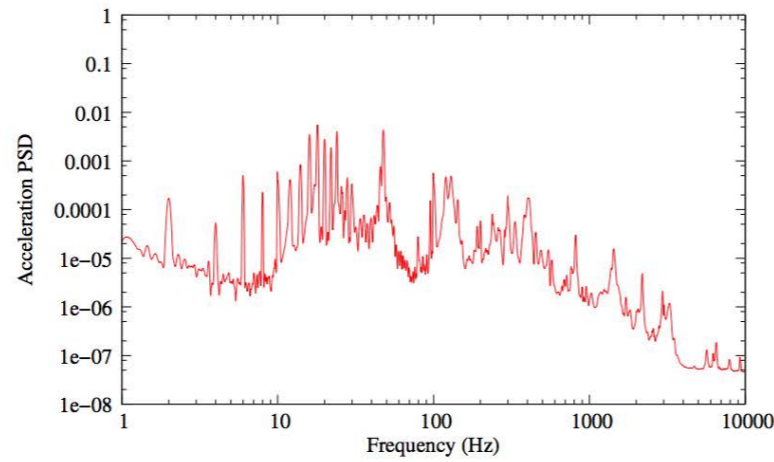


Figure 11: Mylar rods and six braids connected.

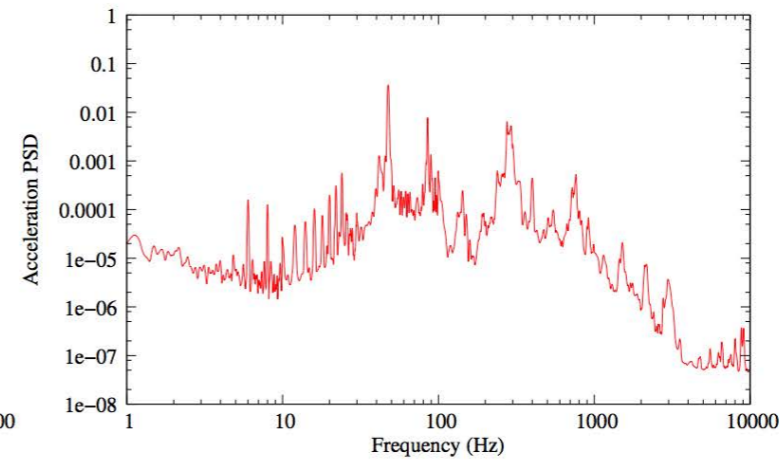
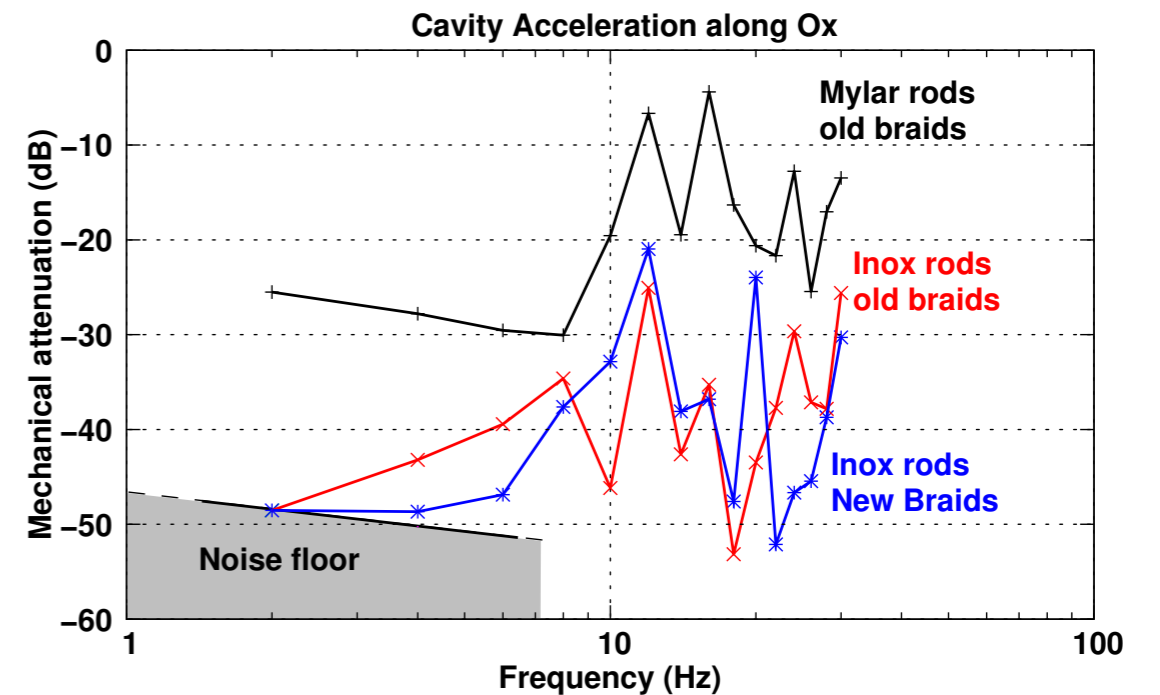


Figure 12: Inox rods and six braids connected.

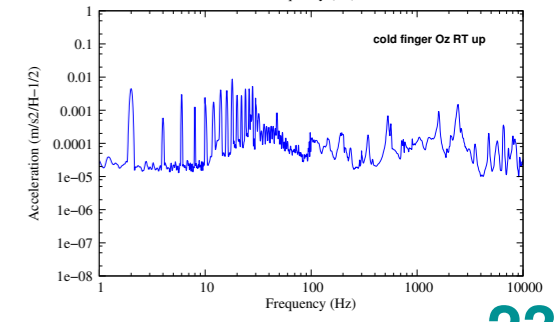
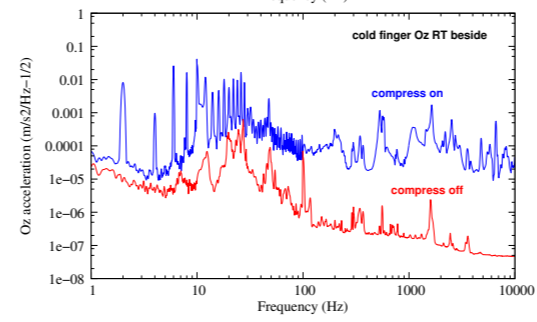
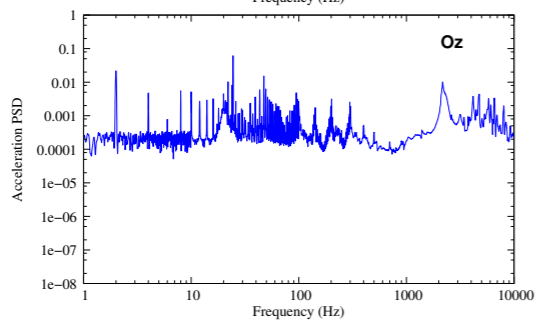
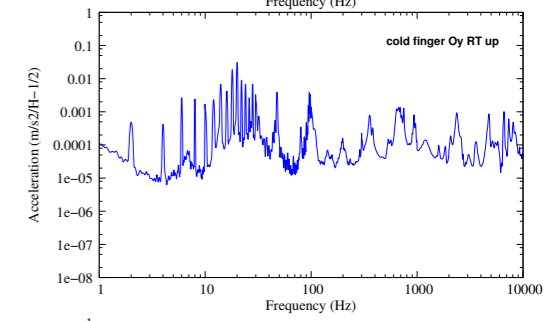
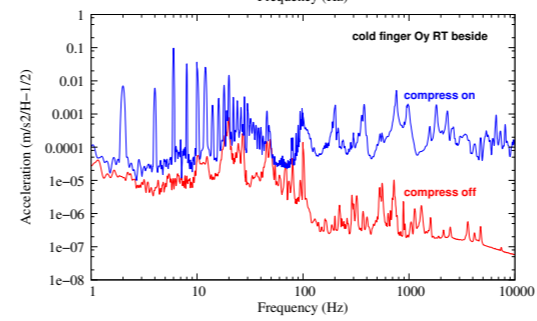
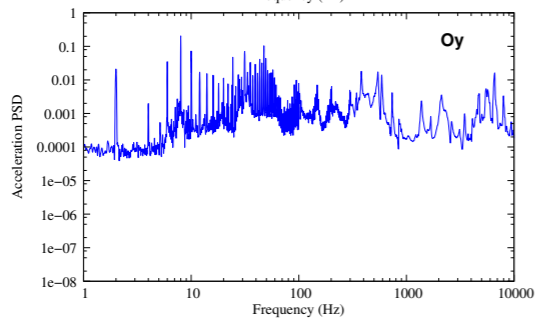
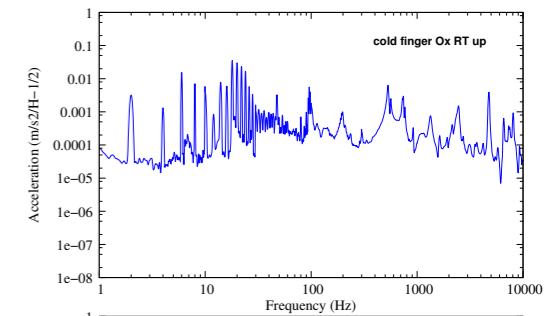
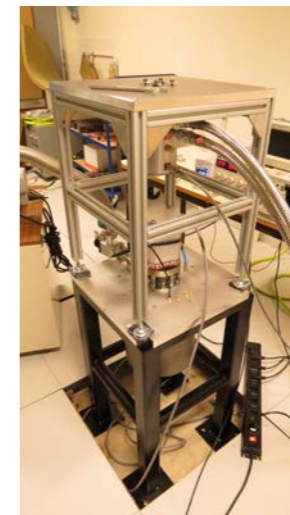
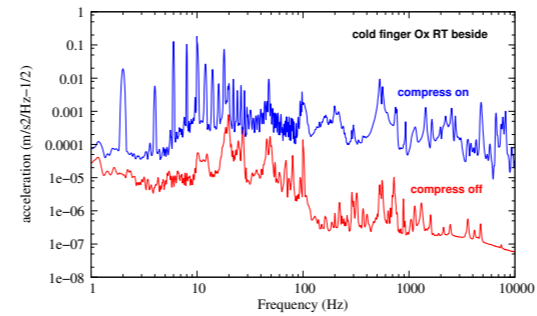
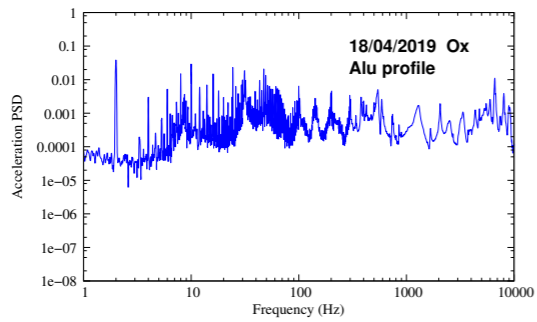
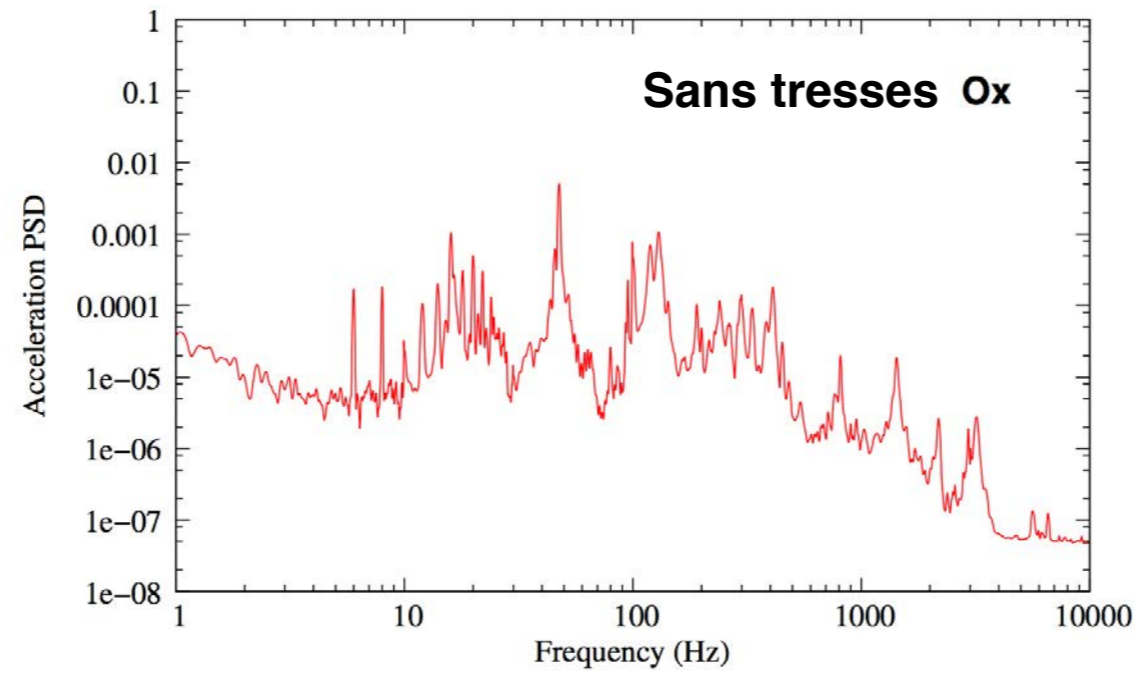
Table 3: Cavity: Acceleration and displacement along Ox at 2 Hz. RT above

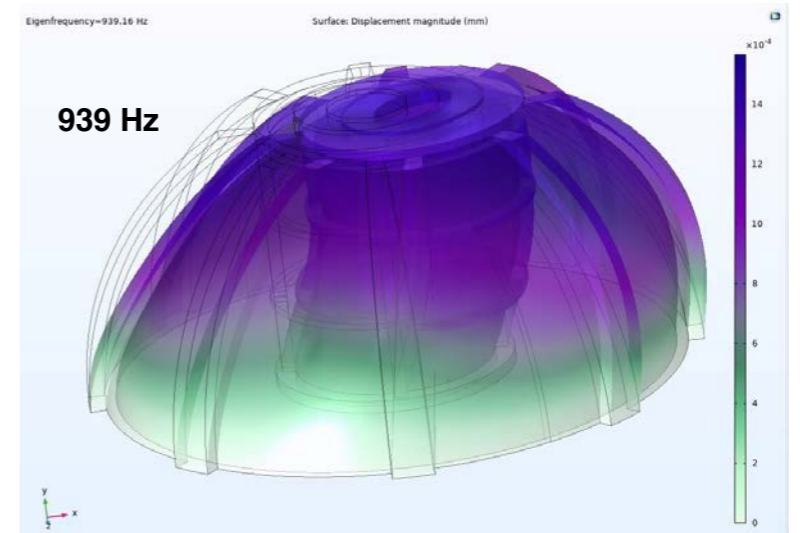
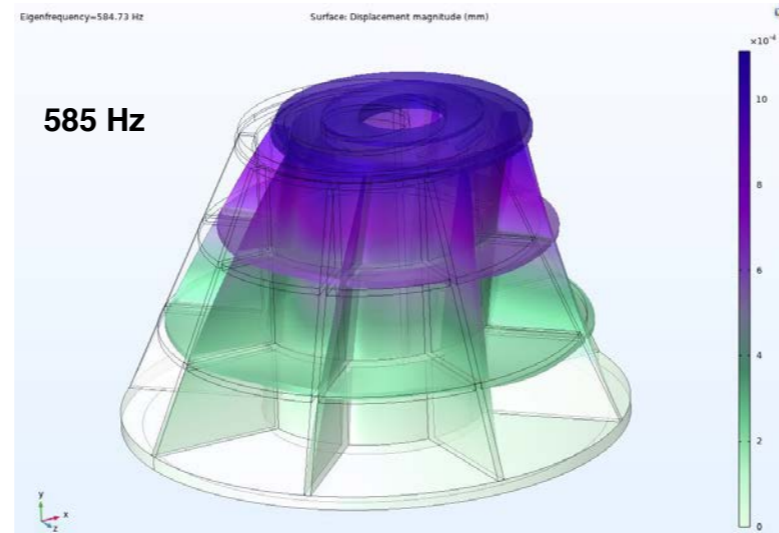
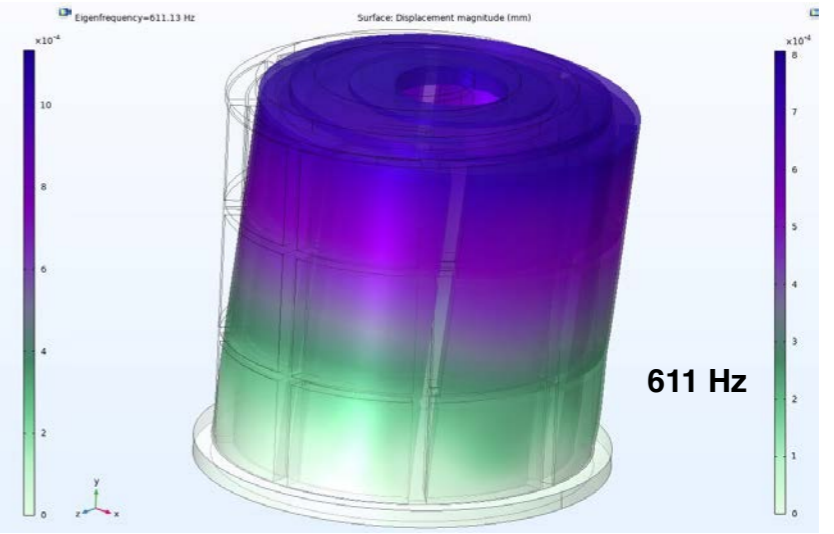
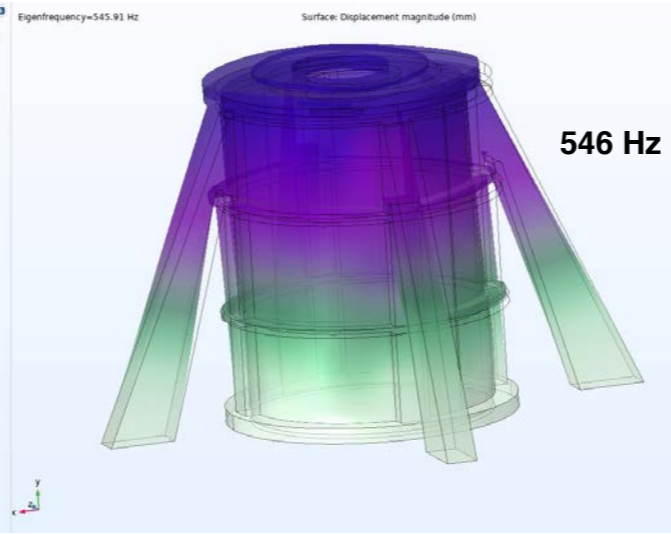
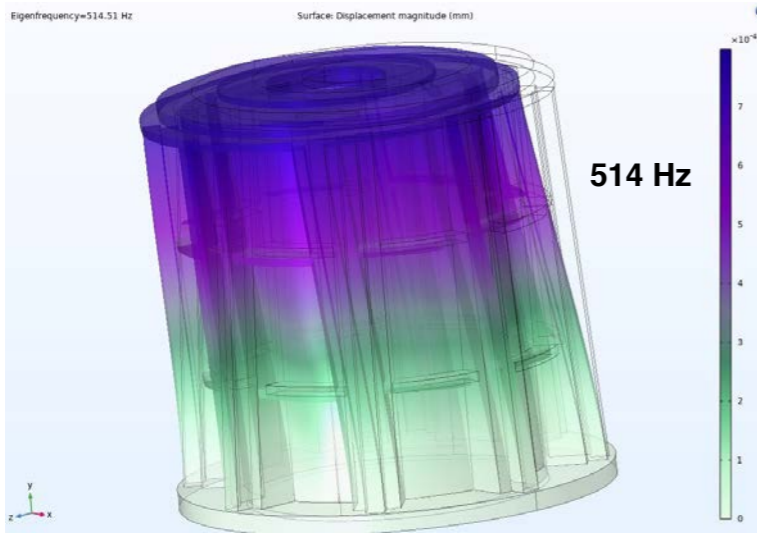
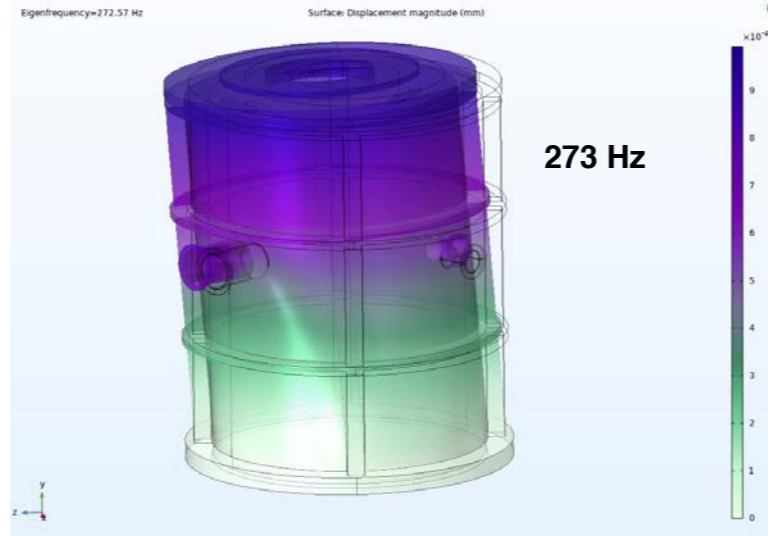
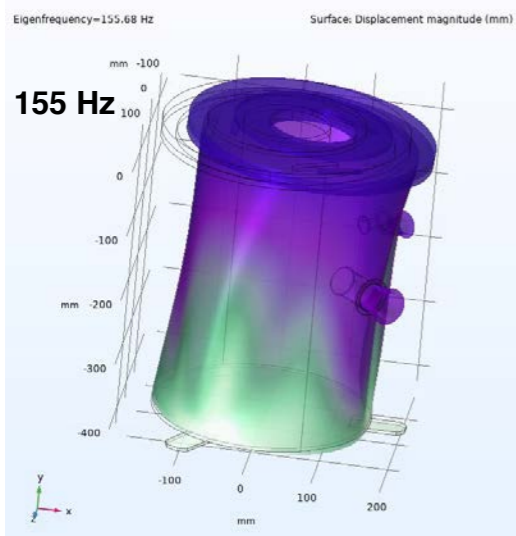
| | Welded Steel profiles | | |
|-----------------------|---------------------------|-------------------|-------------|
| | γ | RV above | Attenuation |
| | (mm/s^2) | displacement | (dB) |
| | | (μm) | |
| Mylar rods. no braids | $\leq 4.5 \times 10^{-3}$ | ≤ 0.03 | ≥ 44 |
| Mylar rods. 1 braids | 8.4×10^{-3} | 0.05 | 39 |
| Mylar rods. 3 braids | 36×10^{-3} | 0.2 | 26 |
| Mylar rods. 6 braids | 51×10^{-3} | 0.3 | 23 |
| Inox rods. 6 braids | $\leq 3 \times 10^{-3}$ | ≤ 0.02 | ≥ 48 |



Recuit après écrouissage

Contribution non négligeable de la structure : $k \neq \infty$

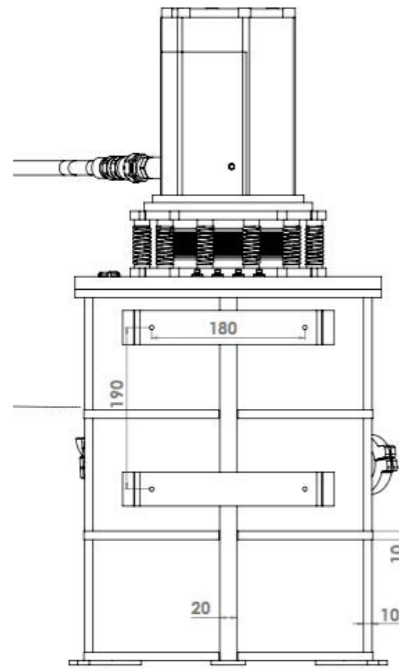




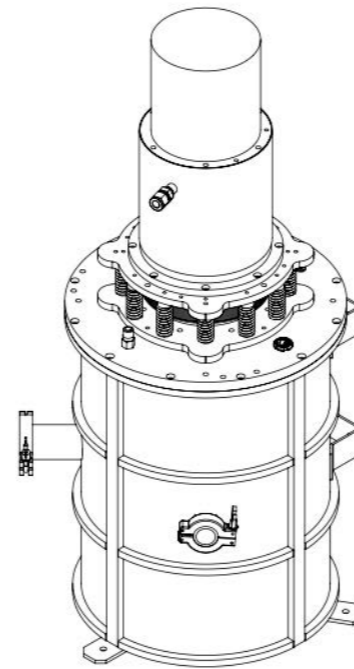
Nervures extérieures + Augmentation épaisseur

Un nouveau cryostat acceptant 3 types de cryogénérateurs :

PT403 Cryomech



PTD4200 Transmit



RDK101 GM Sumitomo

